

日本船舶振興会昭和45年度補助事業

“船体の構造計算方法の精密化に関する開発”

研究資料 No.140

第124研究部会

大型鉱石運搬船の船首部波浪荷重 および鉱石圧に関する実船試験

報告書

昭和46年3月

社団法人

日本造船研究協会

はしがき

本報告書は日本船舶振興会の昭和45年度補助事業「船体の構造計算方法の精密化に関する開発」の一部として、日本造船研究協会が第124研究部会においてとりまとめたものである。

第124研究部会委員名簿（敬称略、順不同）

部会長	高橋 幸伯	(東京大学)
幹事	安藤 文隆	(船舶技術研究所)
	川上 益男	(広島大学)
	土井 進一	(大阪商船三井船舶)
	藤田 純夫	(三菱重工業)
	元良誠三	(東京大学)
	山本 善之	(東京大学)
委員	明田 弘一郎	(飯野海運)
	梅根 弘毅	(三光汽船)
	岡田 高	(沖電気工業)
	上藤 道雄	(大阪造船所)
	小坂 正夫	(協立電波)
	佐伯 庄吾	(三井造船)
	高城 清	(川崎汽船)
	田中 磨一	(光電製作所)
	繩田 卓生	(三菱重工業)
	福田 淳一	(九州大学)
	松山 辰郎	(富士通)
	三島 尚三	(名村造船所)
	森川 卓	(日本船主協会)
	渡辺 次郎	(函館ドック)

乗船計測員名簿（敬称略、順不同）

繩田 卓生	(三菱重工業)	真崎 鉄如	(三菱重工業)
-------	---------	-------	---------

目 次

1. まえがき	1
2. 試験の概要	2
2. 1 試験船主要要目	2
2. 2 試験期間、航路および計測員	2
2. 3 計測項目および計測位置	2
2. 4 計測および記録装置	3
2. 5 計測方法	8
3. 計測結果	20
3. 1 海象・気象	20
3. 2 波浪荷重	20
3. 3 船体応力	20
3. 4 波浪計測	20
4. 理論計算	43
4. 1 鉱石運搬船の横強度計算	43
5. 考察	46

1. まえがき

最近の大型鉱石運搬船はその船体構造、一般配置、積荷状況等が従来の小型鉱石運搬船や一般貨物船とは著しく異なるため、船体の構造、強度に関して特異な問題があると思われる。本研究はこれら特異な問題点をとりあげて検討するため、波浪中航走時における波浪荷重および鉱石圧、荷役時における鉱石圧を実船において計測し、その時の外界状況、本船状態などを考慮して、その実態をあきらかにしようとするものである。

1昨年および昨年と2度にわたり、大型鉱石運搬船の痛ましい海難事故が発生した。これらの事故原因を究明し、その具体的な防止策をたてるのも急務ではあるが、本研究は直接それを目的としたものではなく、大型鉱石運搬船の就航時における船体各部の外力に対する応答の実情、問題点の摘出に努め基礎的資料を求めることが重点をおいた。

本会は3ヶ年計画で第124研究部会を設置し、日本船舶振興会の補助金を得て本研究を実施した。

本年度は日本船主協会の御好意により、大阪商船三井船舶㈱“笠木山丸”について1航海の計測を行なつた。今回の計測には新らに製作した計器を搭載したため、それらの作動テストに主眼をおいた。

計測項目は波浪荷重、鉱石圧、船体応力、船体運動、波浪の5種類で、その他に気象、海象を目視あるいは本船装備の計器で観測すると共に本船状態を調査した。

計測後間もなく、また、来年度も引き続き同船において同様の実験を続行するために、データ整理、解析も緒についたばかりで結論を述べる段階には至っていないが、一応以下に結果の概要を報告する。

本研究に御協力をいただいた日本船舶振興会、日本船主協会、大阪商船三井船舶㈱、三菱重工業㈱および笠木山丸の関係者各位に心から謝意を表する次第である。

2. 試験の概要

2.1 試験船

大型鉱石運搬船、笠木山丸について試験を行なつた。笠木山丸の概略図を図2.1に示す。主要要目は次のとおりである。

船主	大阪商船三井船舶株式会社
建造所	三菱重工業(株)広島造船所
竣工	昭和45年11月30日
長さ(垂線間)	247.00m
幅	40.60m
深さ	23.00m
満載吃水	16.00m
満載航海速力	14.80 kt
載貨重量	117,571 t
機関出力	22,400 HP

2.2 試験期間、航路および計測員

(1) 計測期間

第1回計測 昭和46年1月26日より昭和46年3月26日

(2) 計測航路

福山からチリのガヤカン間の南米航路で第1回の計測を行なつた。往復航の航路図を図2.2に示した。

(3) 計測要員

本部会委員の繩田卓生(三菱重工広島造船所)および真崎鉄如(三菱重工広島研究所)の2名が乗船して計測を行つた。

2.3 計測項目および計測位置

(1) 波浪荷重

荒天時に船体に働く衝撃波圧力の計測を中心として、航海中に船体に働く波浪荷重を計測するため、FPの水線より上部の船側外板に1点、フォアピークタンク内Fr.88 1/2 左右舷の船側外板に合計8点、右舷側船底外板に1点、M1バラストタンク内Fr.84 1/2 左右舷の船側外板に合計10点、左舷側船底外板に1点およびM3バラストタンク内Fr.64 1/2 左舷側船側外板に2点船底外板に1点、総計24点、外板に34mmの開孔を設け水圧計をとりつけた。

これらの水圧計とは別に、サイドロンジのフェイスの応力を計測することにより船体に働く波浪荷重を計測した。そのために、フォアピークタンク内Fr. 88 1/2 左右舷のサイドロンジのフェイスに合計6点、M1バラストタンク内Fr. 84 1/2 左右舷のサイドロンジのフェイスに合計12点およびFr. 80 1/2 左舷側サイドロンジのフェイスに6点、総計24点抵抗線歪ゲージをとりつけた。

これらの水圧計および抵抗線歪ゲージのとりつけ位置を図2.3～図2.8に示した。

(2) 鉱石圧力

積荷時および積卸時の鉱石圧力および航海中の鉱石圧力の変動量を計測するため、M1バラストタンク内Fr. 80 1/2 およびFr. 84 1/2 左舷側の縦通隔壁付ロンジのフェイスに合計10点、抵抗線歪ゲージをとりつけた。これらの抵抗線歪ゲージのとりつけ位置を図2.4および図2.5に示した。

(3) 船体応力

船体の波浪による縦曲げ応力を計測するために、Fr. 64 1/2 (船体中央部) 左右舷の上甲板に2点、Fr. 80 1/2 左舷側の上甲板に1点、Fr. 84 1/2 左右舷の上甲板に2点、およびFr. 88 1/2 左右舷の上甲板に2点、合計7点抵抗線歪ゲージをとりつけた。

(4) 船体運動

船体運動を計測するため、居住区に船体運動計測装置をとりつけた。

(5) 波浪

船首近傍の立体的波浪分布を計測するため、コンバステツキにステレオカメラをとりつけた。

衝撃波圧力が船体に働くような荒天時の波高頻度分布を計測するため、投込み式波高計を用いた。

(6) 気象、海象、本船状態

風力、風速、風浪、うねり、その他気象、海象はすべて本船側の記録を用いた。船速は船の速度計により記録した。

2.4 計測および記録装置

(1) 概要

計測項目と記録装置との関係を一覧表にして表2.1に示す。

表2.1 計測項目および記録装置

計測項目	ピックアップ	計測装置	記録器
波浪荷重	水圧計	多点切換ボックス 動歪計	電磁オシログラフ デジタル・データレコーダ アナログ・データレコーダ
	抵抗線歪ゲージ		
鉱石圧力	抵抗線歪ゲージ	低域渦波器	電磁オシログラフ
船体応力	抵抗線歪ゲージ		
船体運動	船体運動計測装置		デジタル・データレコーダ
波浪	投込み式波高計	波高計受信器	記録計
	ステレオカメラ		

(2) 水圧計

水圧計の仕様を表2.2に構造図を図2.9に示す。

表2.2 水圧計仕様

定格容量	5 Kg/cm ²
最大許容荷重	定格荷重の150%
定格出力	$2000 \pm 10\% \times 10^{-6}$ strain (1mv/v)
入出力抵抗	350Ω ± 1%
最大プリッジ電圧	6 V
直線性	± 1% F · S
使用温度範囲	0 °C ~ 60 °C
温度特性	定格出力の± 0.005% / °C

(3) ひずみゲージ

水中でのひずみ計測を行なう点が多く、ひずみゲージの防水処理を十分に行なう必要があるが、入渠中の短期間に多数点の計測準備を行なうにはいろいろ難点があるので、今回の試験では図2.10に示すような防水ゲージをあらかじめ用意しておき、現場に取付けたゲージプロテクター（図2.11）によつてゲージ貼付けと、防水処理、機械的保護を同時に行なう方式をとつた（図2.12）。この方式を採用することによつて、

- i) ゲージの防水処理が地上において入念に施工できること
 - ii) 現場の貼付け、圧着、コーティング、機械的保護などの作業が連続してできるので工期を短縮できること
 - iii) ゲージ貼付作業と導線キャブタイヤの配線工事とが独立して進行できること
 - iv) 圧着端子接続を利用することによつて、ハンダ付け作業が不要となり、作業用電源も不要で、接続部の信頼性も高めることができること
- などの利点があり、大幅にゲージ関係の労力節減、工期短縮を達成することができた。

(4) 船体運動計測装置

船体運動計測装置の仕様を表2.3にブロック図を図2.13に示す。

表 2.3 船体運動計測装置仕様

最大出力	角度、速度、変化	D C $1\text{K}\Omega$, $\pm 10\text{V}$ D C 30Ω , $\pm 10\text{mA}$
	加速度	D C $1\text{K}\Omega$, $\pm 2\text{V}$ D C 30Ω , $\pm 10\text{mA}$
出力特性	角 度	1.5 %
	加速度	1 %
	速 度	1 %
	変 位	1 %
出力感度	角 度	$\pm 10\text{V}/\pm 10^\circ$
	加速度	$\pm 0.4\text{V}/\pm 100 \times 10^{-6}$
	速度、変位	$\pm 10\text{V}$
周波数応答	5 cps 以上までフラット（加速度を除く）	

(5) 投込式波高計

投込式波高計の仕様を表 2.4 に構造図を図 2.14 に示す。

表 2.4 投込式波高計仕様

無 線 周 波 数	4 0 . 6 8 MHZ
無 線 方 式	F M - F M
送 信 出 力	1 W
通 達 距 離	1 0 K m
送 信 部 動 作 時 間	1 時 間
電 源	D C 2 4 V
測 定 可 能 波 高	1 m ~ 1 5 m 誤 差 5 %
測定可能うねり周期	2 秒 ~ 2 0 秒

(6) ステレオカメラ

船首方向の波浪分布をステレオカメラにより撮影し、これを写真図化機で図化測定する。ステレオカメラの外観図を図 2.15 に示す。

(7) 多点切換ボックス

多点切換ボックスの仕様を表 2.5 に示す。

表 2.5 多点切換ポツクス仕様

計測点	6チャンネル、総測定点数30
測定範囲	動歪計の測定範囲と同じ
使用ゲージ	標準 120Ω , $60\Omega \sim 1000\Omega$ 測定可能
平衡調整器	抵抗 $\pm 0.6\Omega$ 容量 2000PF
安定度	安定度零点移動はスイッチイン20分後より1時間毎に 5×10^{-6}

(8) 動歪計仕様

動歪計の仕様を表 2.6 に示す。

表 2.6 動歪計仕様

測定点数	8点
静的歪測定	0 ~ 1 % 精度 3%以内
動的歪測定	標準感度 低インピーダンス $3mA / 100 \times 10^{-6}$ 高インピーダンス $1.2V / 100 \times 10^{-6}$ 歪 直線性 $\pm 18mA$ 1% $\pm 8V$ 2% 現象周波数 0 ~ 1000 % 0 ~ 1000 %
使用ゲージ	$60 \sim 1000 \Omega$
平衡調整器	歪ゲージの抵抗値の偏差 1% 容量 2000PF
標準歪設定器	$\pm 100, 300, 1000, 3000 \times 10^{-6}$
感度調整	$1, 1/3, 1/10, 1/30, 1/100, 0$
プリッジ電圧	5000 % ± 5% 約2V
使用温度範囲	-20°C ~ +50°C

(9) 低域渦波器

低域渦波器の仕様を表 2.7 に示す。

表 2.7 低域渦波器仕様

周波数範囲	0.2 ~ 2 KHz
最小帯域幅	$1/6$ OCT
入力インピーダンス	$1 M\Omega$
最大入力電圧	5 V
出力電圧	B0 1V 10KΩ負荷時
出力インピーダンス	B0 600Ω M0 10Ω
切断特性	$40 \text{ dB} / \text{OCT}$
チャンネル数	6 チャンネル
電源	A.C./100V

(10) 電磁オツシログラフ

電磁オツシログラフの仕様を表 2.8 に示す。

表 2.8 電磁オツシログラフ仕様

記録紙送り速度	0.5, 1, 2.5, 5, 10, 20, 50, 100 m/sec
光学長	330mm
光源	超高压水銀灯
刻 時	1, 0.1, 0.01 sec
電 源	AC 100V ± 10V
ガルバノメータ	型式 M-400-23B M-1K-22B

(11) アナログ磁気テープデータレコーダ

アナログ磁気テープデータレコーダの仕様を表 2.9 に示す。

表 2.9 アナログ磁気テープデータレコーダ仕様

記録再生方式	周波数変復調
チャンネル数	7
テープ速度	76.2, 38.1, 15.24, 7.62 cm/sec
連続記録時間	15分, 30分, 1時間15分, 2時間30分

(12) 高速データ集録装置 (DATAC 1500)

高速データ集録装置の仕様を表 2.10 に示す。

表 2.10 高速データ集録装置仕様

マルチプレクサ	入力インピーダンス	10 KΩ 不平衡
	最大入力電圧	± 10.24 V
	精度	± 0.1% フルスケール
	チャンネル数	30 チャンネル
A/D/DA変換器	入力インピーダンス	10 KΩ / 10 V
	入力電圧	+ 10.23 V ~ - 10.24 V
	変換時間	80 μs 以下
	変換精度	± 0.1% フルスケール
磁気テープ装置	テープスピード	3.2m/s, 1.6m/s, 0.8m/s, 64,32, 16mm/sec
	テープ幅	1/2 "
電 源	AC 110V ± 5V	
使用温度範囲	15°C ~ 35°C	
使用湿度範囲	75% 以内	

2.5 計測方法

(1) 非衝撃的波浪荷重の計測

船体に働く波浪荷重の短期分布および長期分布の計測を目的として、往航時は $F_r . 64 1/2$, $F_r . 84 1/2$, $F_r . 88 1/2$ の船底の水圧計により、復航時は $F_r . 64 1/2$, $F_r . 84 1/2$ の水線下の水圧計および歪ゲージにより毎日定時に 10 ~ 20 分間計測した。

(2) 非衝撃的波浪荷重隨時計測

各断面毎に水圧、鉱石圧および船体応力の同時分布を計測することを目的として、復航時に各波浪階級ごとに 2 ~ 3 回隨時計測を行つた。

(3) 荒天時の衝撃的波浪荷重の計測

荒天時に衝撃波圧力の出ている水圧計および歪ゲージを選出し、衝撃波圧力の波形、継続時間および最大値の頻度分布を計測した。次いで、荒天時の水圧および鉱石圧の同時分布を各断面ごとに計測した。

(4) 積荷時および積卸時の鉱石圧力計測

積荷時および積卸時に鉱石圧力およびストラットの軸力を積荷または積卸前後に計測した。

(5) 船体応力計測

船体縦曲げ応力の短期分布および長期分布の計測を目的として、 $F_r 64 1/2$, $F_r 80 1/2$, $F_r 84 1/2$, $F_r 88 1/2$ の Upper $D^{\frac{1}{k}}$ の応力を毎日定時に 10 ~ 20 分間計測した。

(6) 船体運動の計測

船体運動の計測は波浪荷重および鉱石圧の全計測時に、ピッチ角、ロール角、横方向の加速度および変位、上下方向の加速度および変位を計測した。

(7) 波浪計測

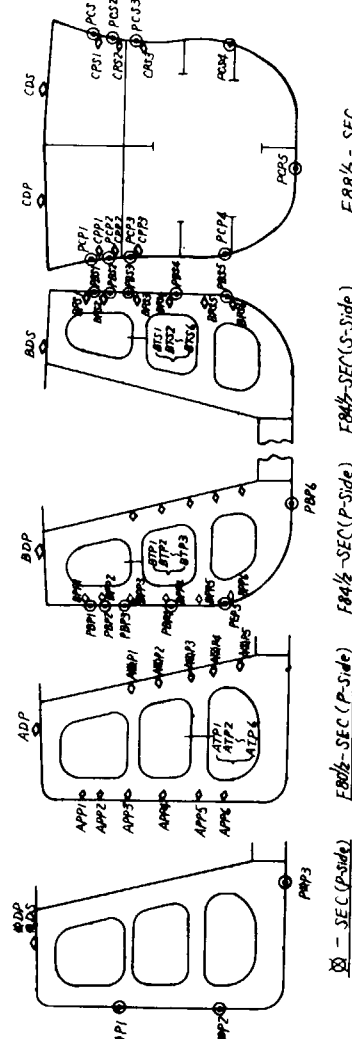
衝撃的波浪荷重の計測時に投込式波高計により 30 分程度連続的に波高計測を行つた。

波浪荷重および鉱石圧の全計測時に船首近傍の波浪分布をステレオカメラにより計測した。
計測の主要目を一覧表にして表 2.11 に、計測のプロックダイヤグラムを図 2.16 に示す。

表 2・1 1 波浪荷重計測主要目

計測種類		計測対象			計測項目			計測点			計測方法			解析方法		
計測種類	荷重種類	計測項目	①	②	③	④	⑤	⑥	定時計測	隨時計測	種類	使用計器				
波浪荷重	衝撃荷重	圧力波形	○	○	○				○		○	電磁オシロ (FM式テレコーダ)	衝撃圧力の波形及び継続時間と衝撃圧力最大値頻度分布を求める。			
	圧力同時発生領域	○	○	○	○				○		○	D A T A C	水圧計と歪計の比較			
非衝撃荷重	同時分布	○	○	○	○				○		○	電磁オシロ	ある瞬間の圧力分布及び断面毎の同時分布			
	頻度分布	○	○	○	○				○		○	電磁オシロ	断面毎の同時分布			
鉱石圧力	静荷重	横載時	○	○								D A T A C	長期分布及び短期分布			
	動荷重	陸揚時	○	○								D A T A C	圧力分布			
船体応力												D A T A C	鉱石の変動圧力を求める			
		頻度分布							○	○		D A T A C	長期分布及び短期分布を求める			
波浪計測												○	○	ロジット波高計 ステレオカメラ		
	船体運動計測											○	○	動揺計		

- (注) ① …… 船側部水圧計
 ② …… 船底部水圧計
 ③ …… 船側外板付 Long ζ 歪計
 ④ …… 縫通隔壁付 Long ζ 歪計
 ⑤ …… Strut 歪計
 ⑥ …… Upper K 歪計
 Trans Ring Corner 歪計



E84½-SEC(P-Side) E84½-SEC(P-Side) E84½-SEC(S-Side) E84½-SEC(S-Side)

F88½-SEC

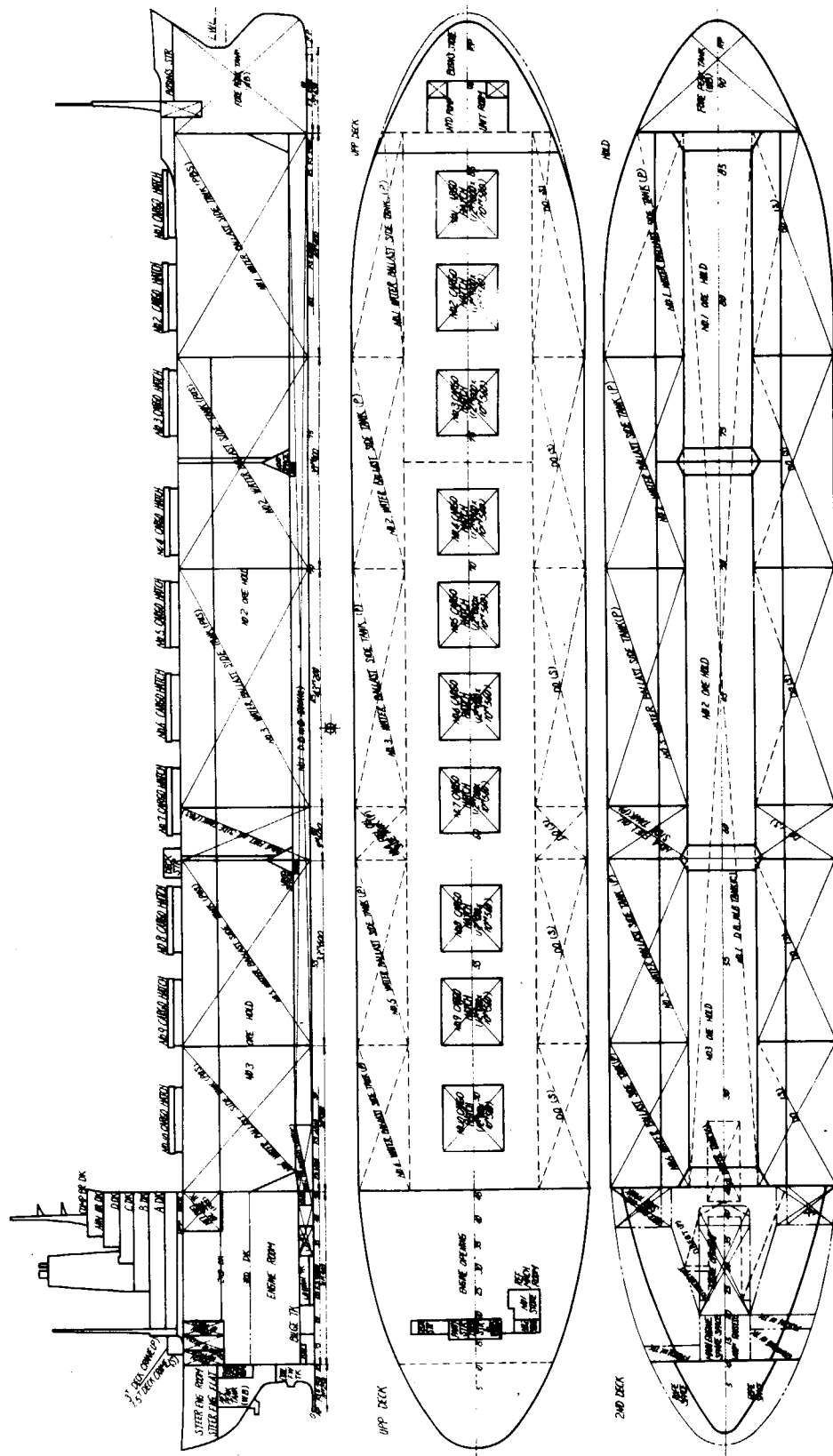


図2.1 笠木山丸概略図

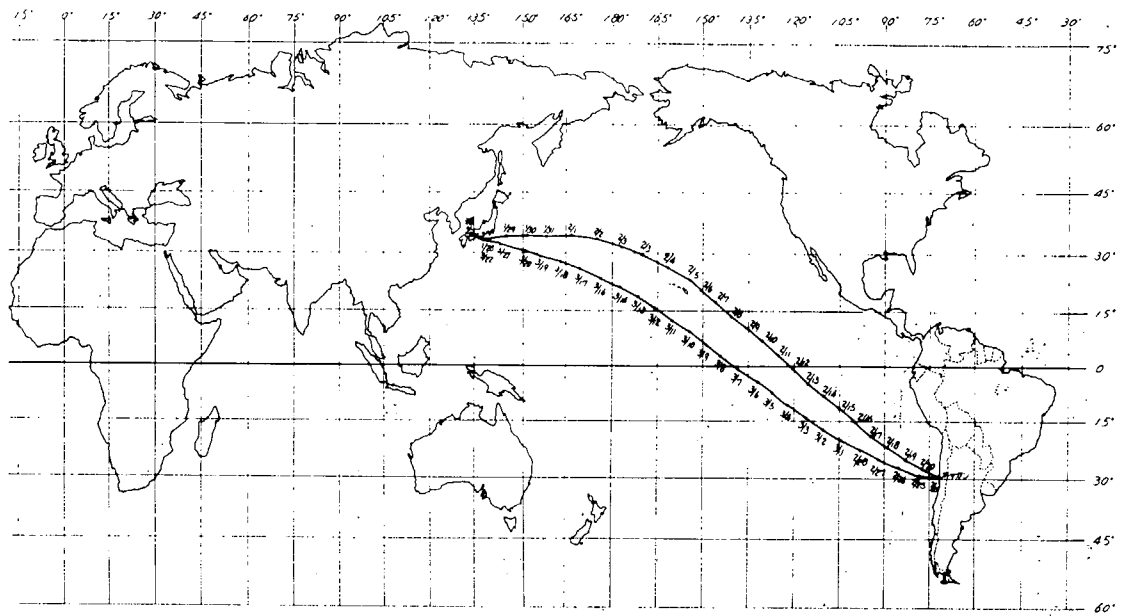


図2.2 笠木山丸航路図

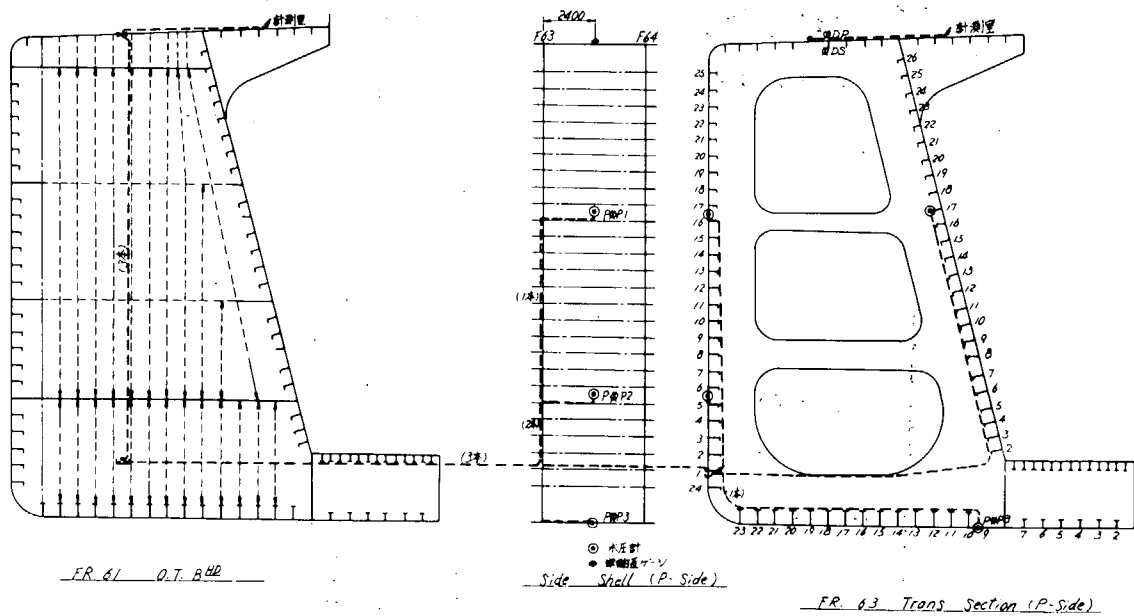


図2.3 63 1/2 SECTION 水圧計配置図 (P-Side)

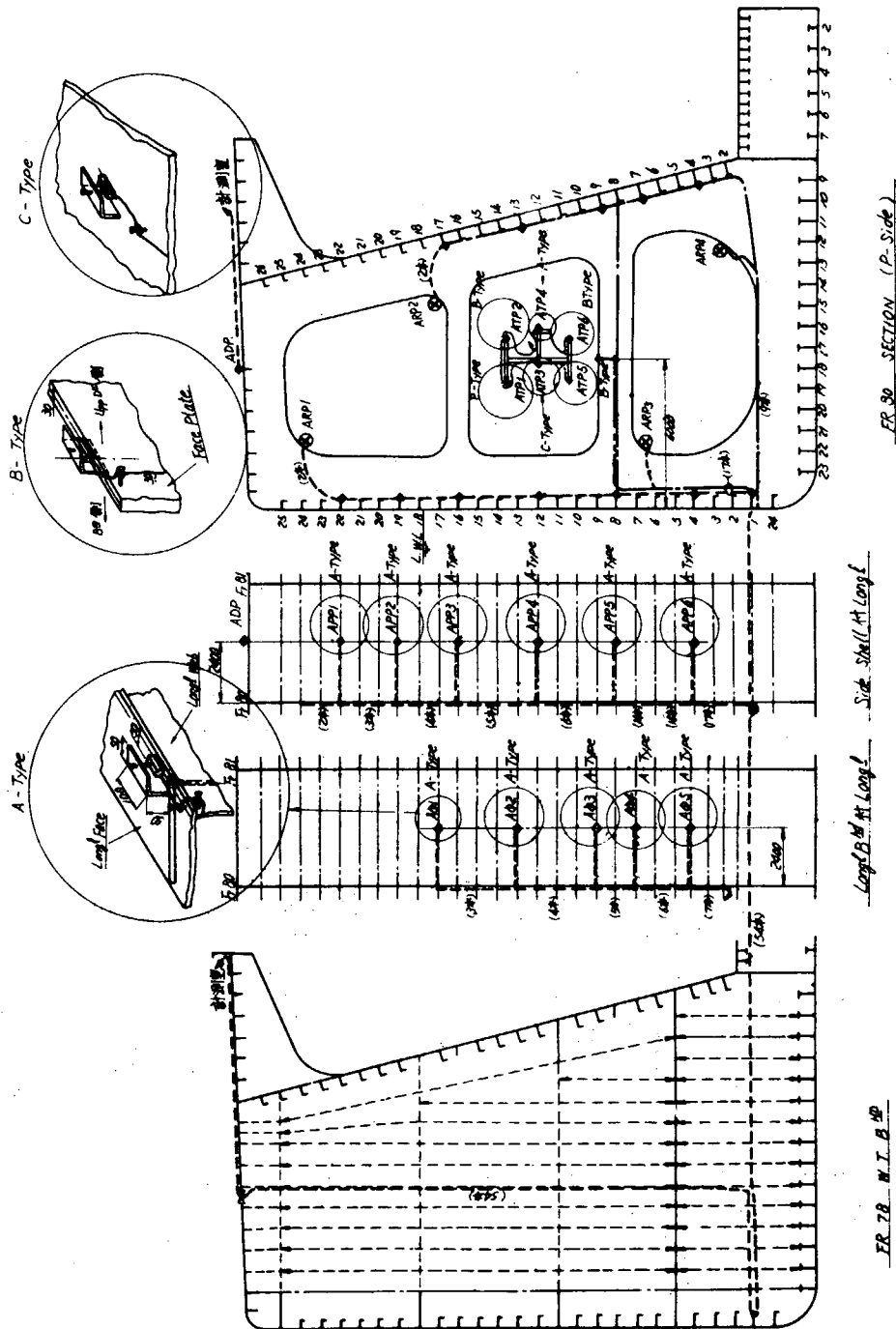


図2.4 歪ゲージ配置(P-Side)

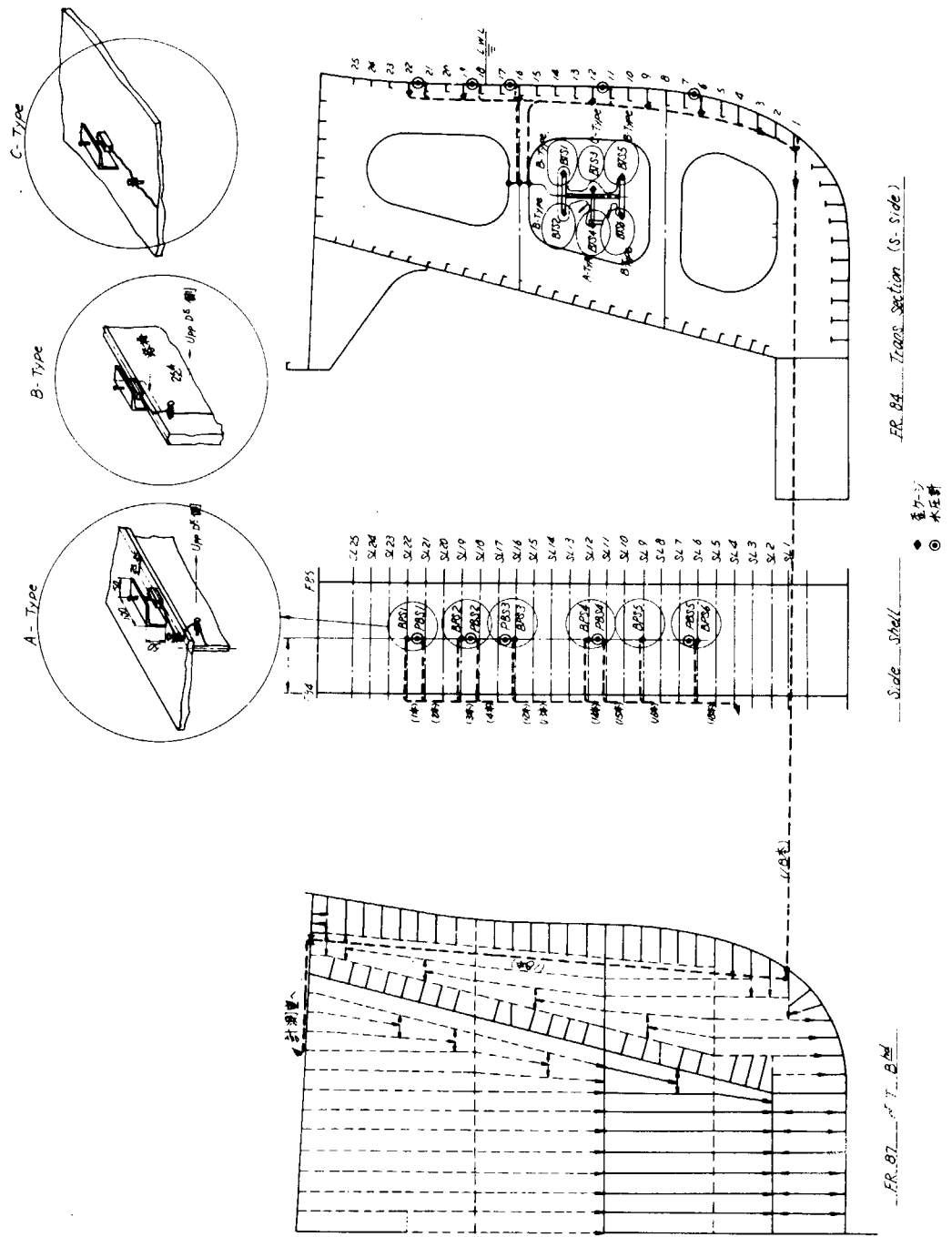


図2.5 水圧計及び歪ゲージ配置 (P-Side)

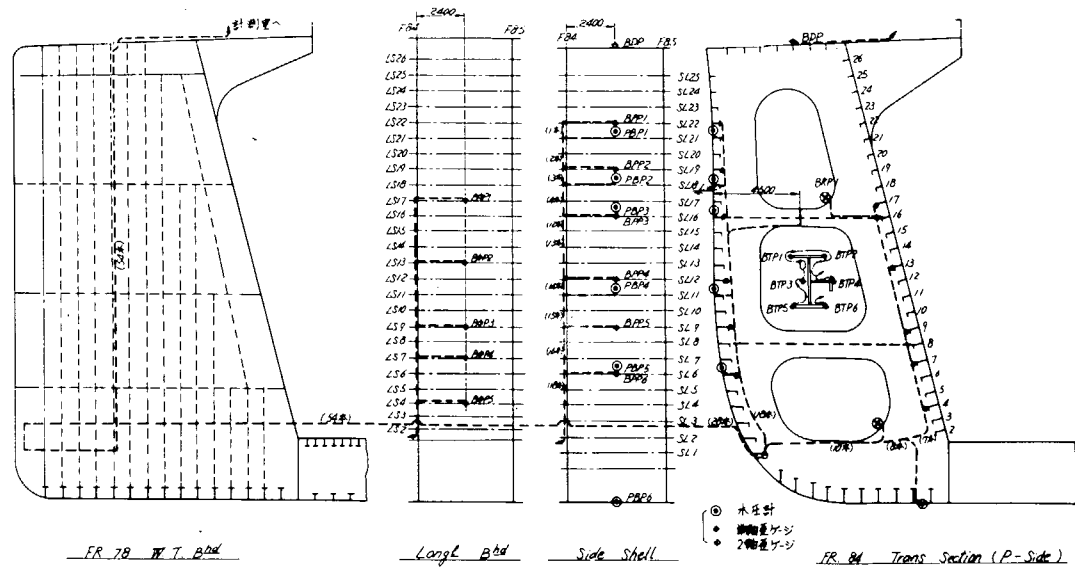


図2.6 水圧計及び歪ゲージ配置 (P-Side)

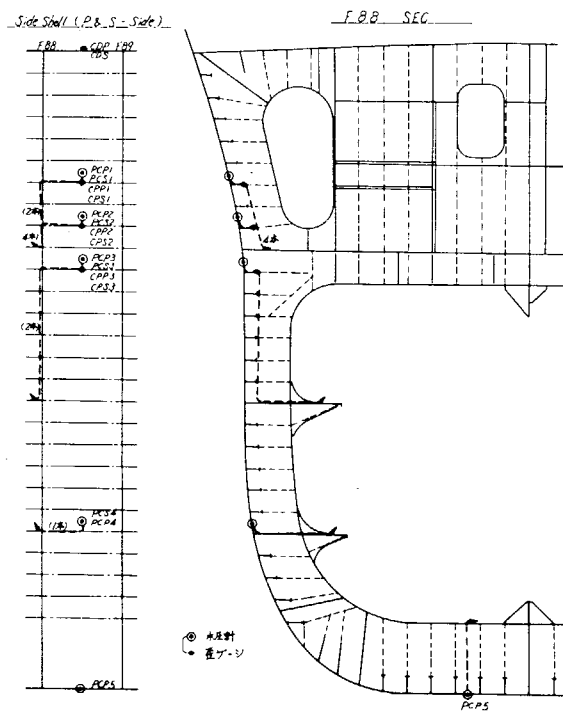


図2.7 水圧計及び歪ゲージ配置

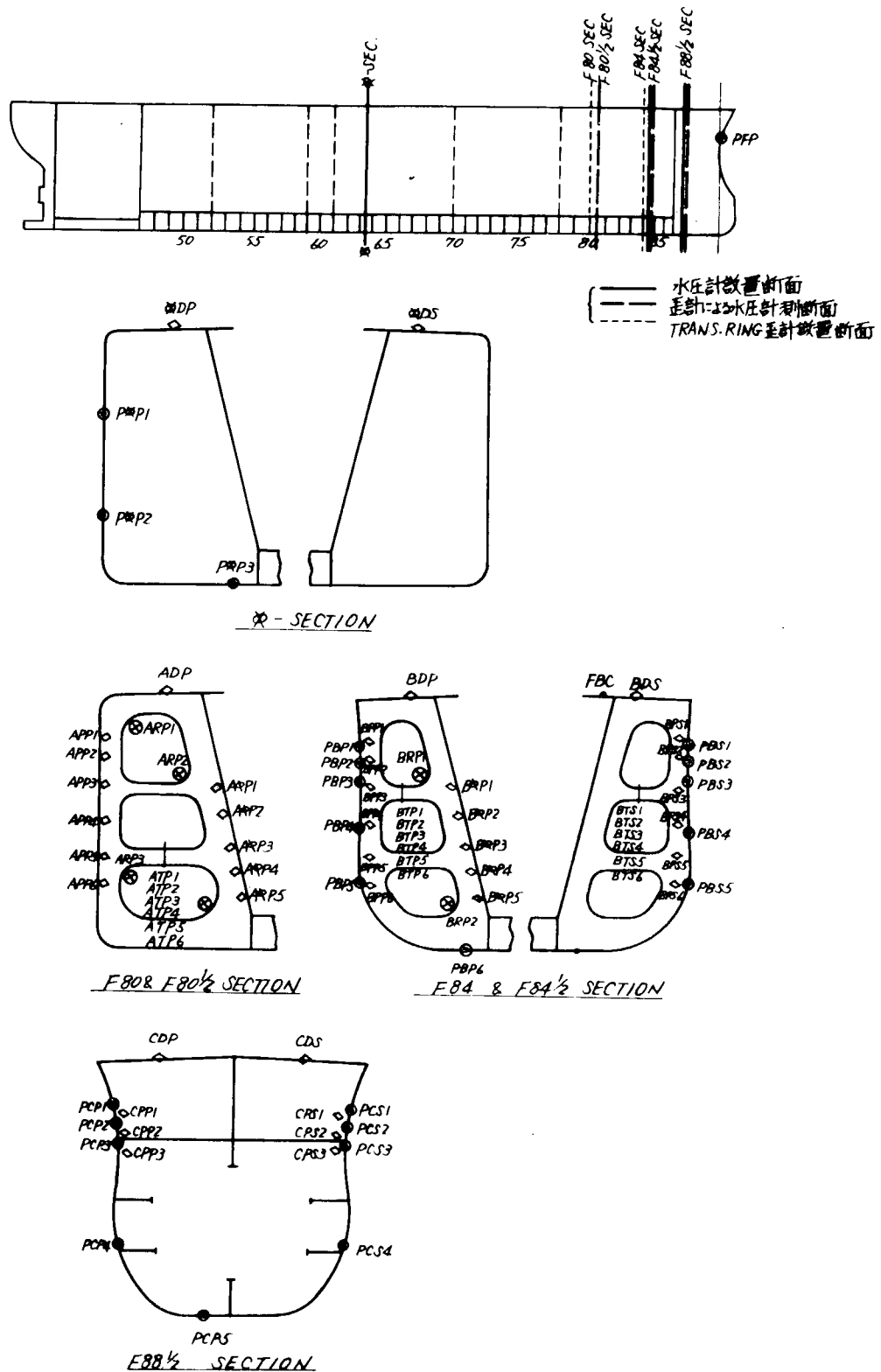


図2.8 水圧計および歪ゲージ配置図

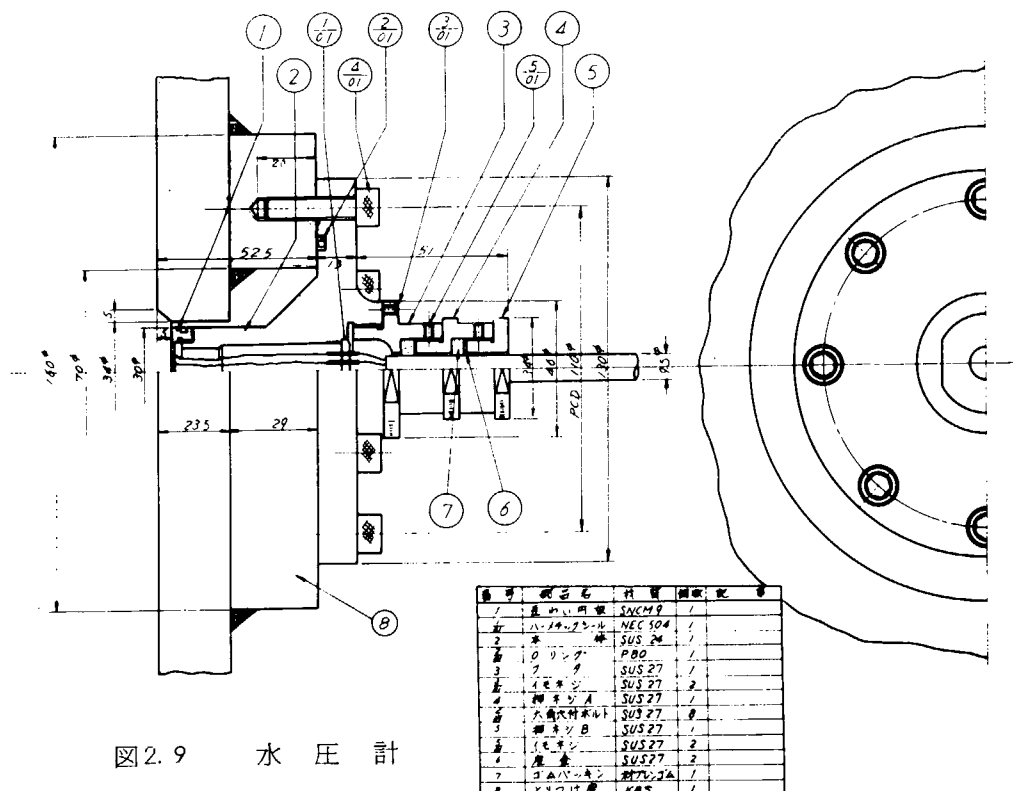


図2.9 水圧計

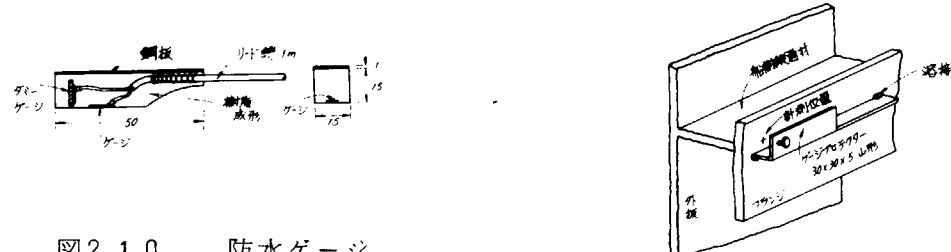


図2.10 防水ゲージ

図2.11 ゲージプロテクター

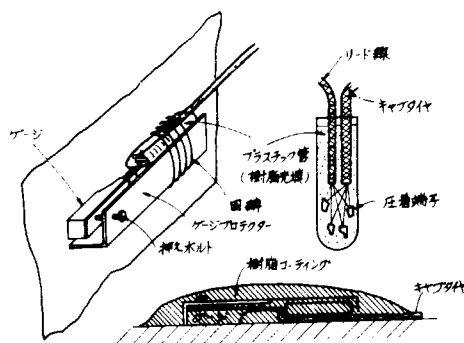


図2.12 ゲージ貼付要領

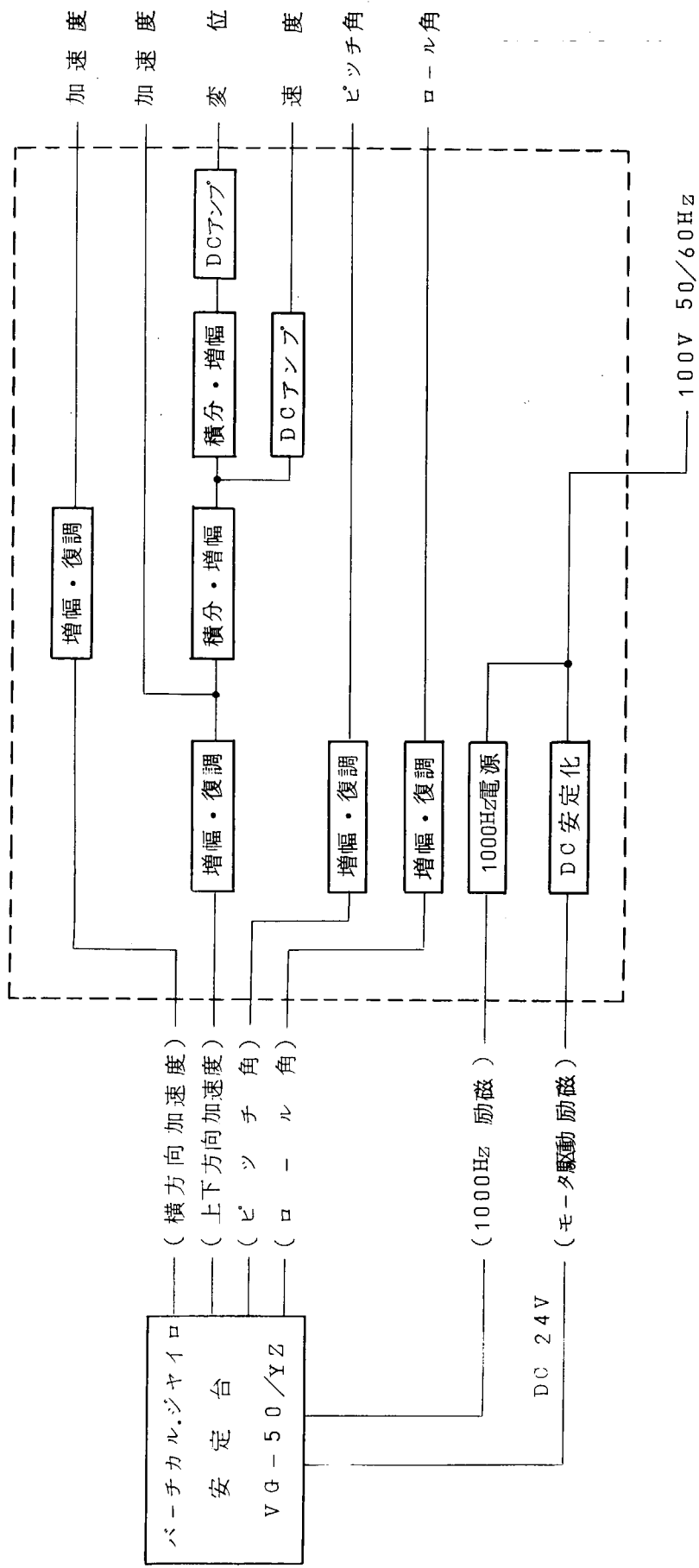


図 2.13 船体運動計測装置プロック図

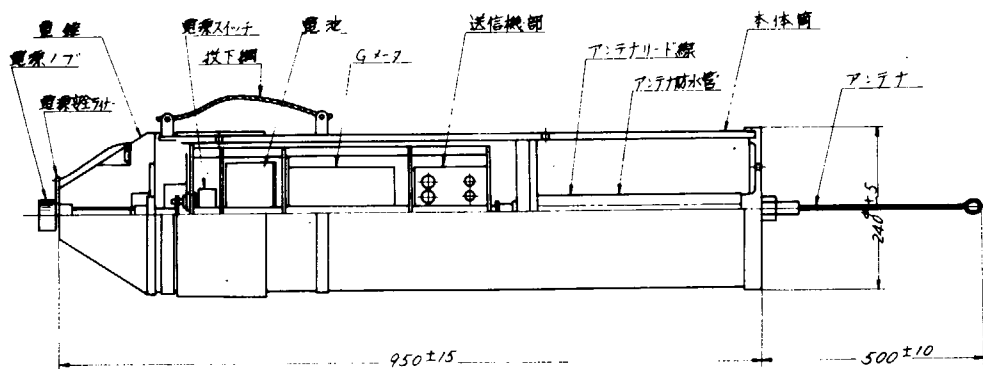


図2.14 投込式波高計

重量 $22.5 \text{kg} \pm 2 \text{kg}$

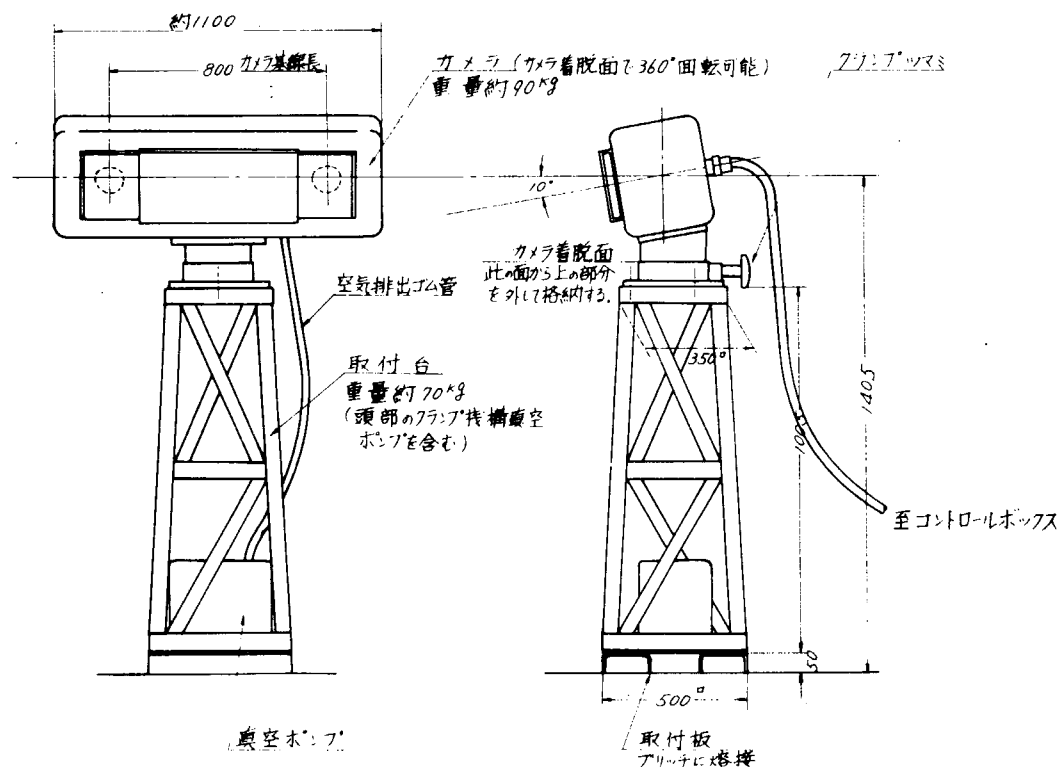


図2.15 ステレオカメラ

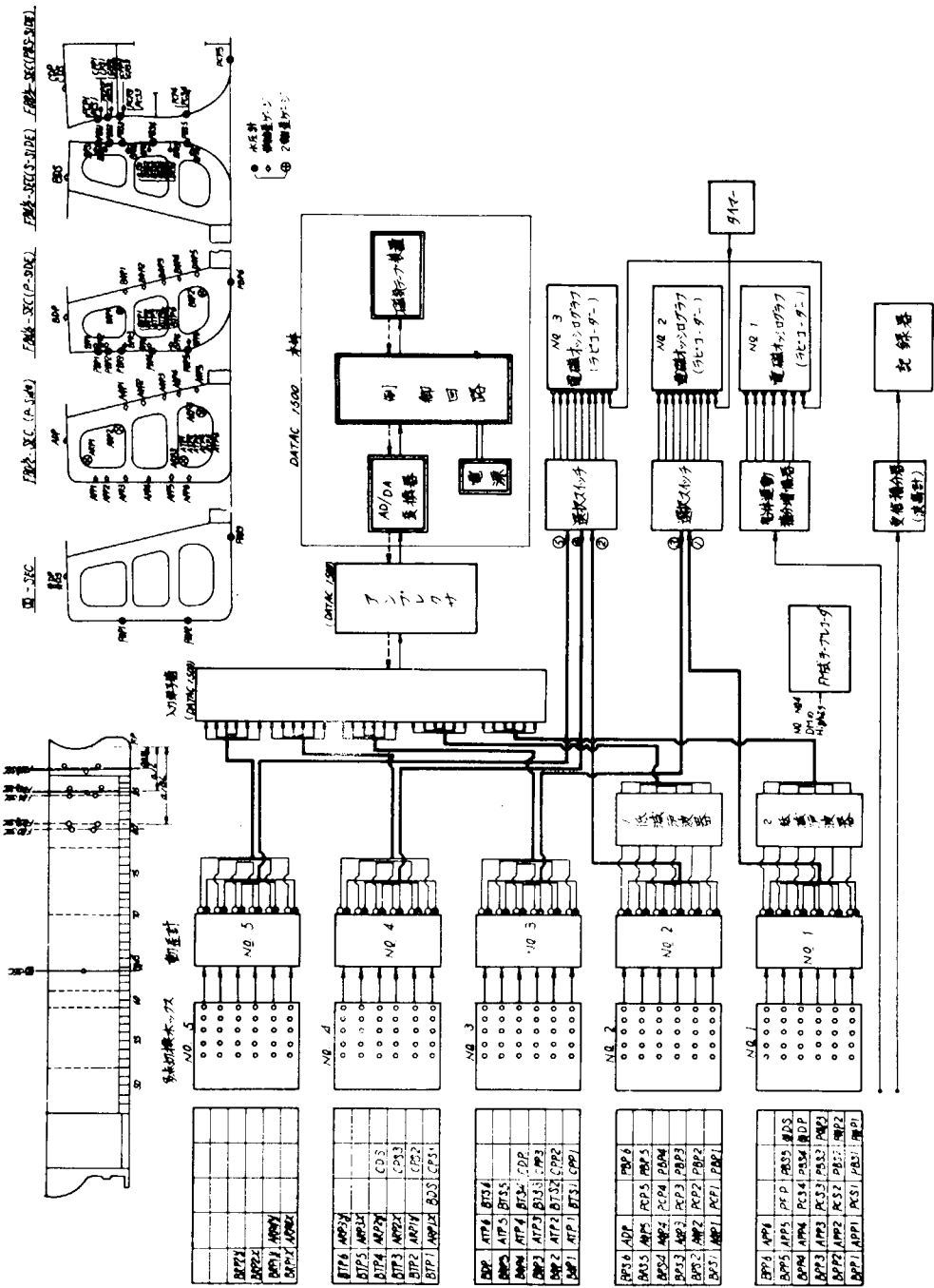


図2.16 計測プロシダライヤグラム

3. 計測結果

3.1 海象・気象

福山 - カヤカン間の航海中の海象・気象記録結果を表3.1(a)～表3.1(c)に示す。

これから判るように、往航時の1月31日～2月3日の5日間風浪階級6～7の荒天に遭遇したが、

本試験の主計測対象としている復航時は荒天に遭遇せず荒天時計測を実施する機会がなかつた。

なお、計測時の本船状態を表3.2に示す。

3.2 波浪荷重

図3.1～図3.4に船首部衝撃水圧の波形例を示す。

図3.1は往航時の荒天時に於ける計測値で、吃水線下の水圧計で計測されたものである。

図3.2～図3.4は復航時に風浪階級4、風力階級4と比較的穏やかな海面状態で計測されたものであるが、F.P.水圧計で最大 $10 \text{ ton}/\text{m}^2$ 、FPT^K船側水圧計で最大 $8 \text{ ton}/\text{m}^2$ の圧力が計測された。

波および風向きによつては荒天時でなくとも、この程度の衝撃水圧は船体に働くことが判る。

図3.5～FPT^Kの船側外板の横断面の衝撃水圧の同時分布を示す。今回の計測結果から衝撃水圧の発生領域を推定することは、衝撃水圧計測データの数が少く不可能である。

図3.6～図3.23に船側変動水圧および船底変動水圧の短期分布例を示す。

3.3 船体・応力

図3.24～図3.30に船体中央部甲板の縦曲げ応力の短期分布例を示す。

3.4 波浪計測

図3.31に投込式波高計による波浪計測結果を示す。

計測結果は表3.1(c)から判るように、ほぼ良好な結果が得られていると思われる。

写真3.1にステレオカメラによる海面撮影例を示す。

表3.1 (a) 海象・気象観測記録

計測日	天候	波浪						風力			船速 (Knots)	プロペラ回転数		
		うねり			風浪			階級	絶対風速 (m/s)	対船方向				
		階級	波高	波長	対船方向	階級	対船方向							
1月28日	晴	3	3	30		5		5	10		16.0	114.8		
1月29日	本曇	3	2	30		5		6	12		15.9	114.5		
1月30日	曇	3	2	30		3		3	5		15.2	114.4		
1月31日	天気 険悪	6	3	50		7		9	21		15.0	115.2		
2月1日	快晴	5	3	40		7		7	15		16.2	114.6		
2月2日	晴	4	3	20		5		5	10		16.2	114.5		
2月3日	雨	4	4	30		6		7	15		16.3	114.6		
日付変更線通過														
2月3日	晴	4	3	30		6		6	12		16.6	115.0		
2月4日	快晴	3	2	50		2		3	5		16.1	115.0		
2月5日	曇	3	2	50	同上	3	同上	4	6	同上	16.0	115.7		
2月6日	晴	2	2	30	同上	0	—	0	—	—	16.5	115.8		
2月7日	晴	1	1	50		3		4	7		15.5	115.3		
2月8日	快晴	3	2	30		4		5	10		15.6	115.2		
2月9日	快晴	2	2	30		4		4	6		15.5	114.8		
2月10日	晴	1	1	30		4		5	10		16.6	115.4		
2月11日	晴	2	1	70		3		4	6		15.5	115.3		
2月12日	本曇	1	1	50		2		3	5		15.5	115.3		
2月13日	曇	2	2	30		4		4	7		15.7	115.2		
2月14日	曇	3	2	30		4		5	10		15.4	115.1		
2月15日	快晴	2	2	30		3		4	7		15.8	115.4		
2月16日	晴	2	2	30		4		4	8		15.9	115.1		

表3.1 (b) 海象・気象観測記録

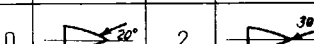
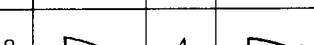
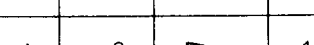
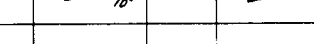
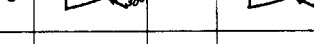
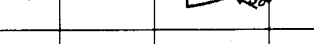
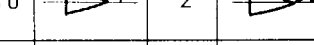
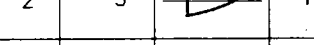
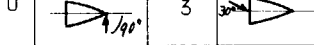
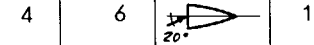
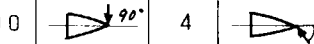
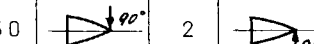
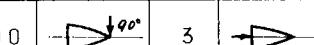
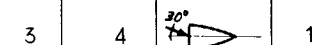
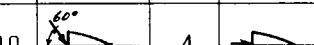
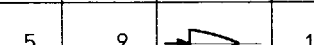
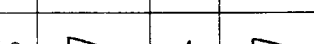
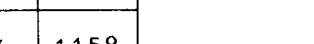
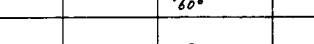
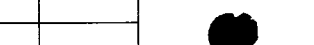
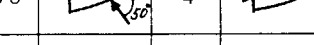
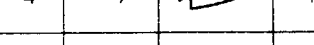
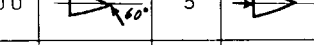
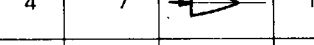
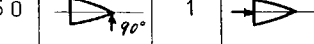
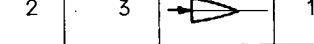
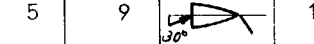
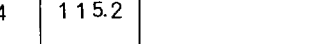
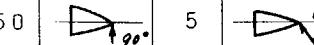
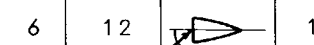
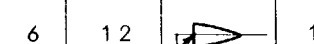
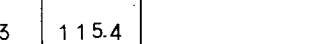
計測日	天候	波 浪						風 力			船速 (Knots)	ブロ ペラ 回転数		
		うねり			風浪			階級	絶対風速 (m/s)	対船方向				
		階級	波高	波長	対船方向	階級	対船方向							
2月17日	晴	2	1	20		2		3	4		15.9	114.9		
2月18日	曇	2	1.5	30		4		4	8		15.7	115.2		
2月19日	曇	2	1.5	20		4		4	8		15.4	115.7		
2月20日	晴	3	2.5	50		4		4	9.5		15.5	115.7		
2月25日	曇	2	2	30		2		2	3		15.0	115.3		
2月26日	曇	1	0.5	30		3		3	5		15.2	115.4		
2月27日	曇	2	2	100		3		4	6		15.3	115.4		
2月28日	晴	2	2	100		4		4	8		15.6	115.2		
3月1日	晴	2	2	150		2		3	4		15.4	115.9		
3月2日	晴	3	3	100		3		3	4		15.7	115.9		
3月3日	曇	1	1	100		4		5	9		15.6	115.9		
3月4日	晴	1	1	50		4		5	9		15.6	115.9		
3月5日	晴	1	1	100		4		4	7		15.9	115.6		
3月6日	晴	1	1.5	100		4		4	7		15.5	115.6		
3月7日	晴	2	2	100		3		4	7		15.7	115.4		
3月8日	本曇	2	2	50		1		2	3		15.7	115.1		
3月9日	本曇	2	1.5	50		5		5	9		15.4	115.2		
3月10日	曇	2	2	50		5		6	12		15.3	115.3		
3月11日	快晴	2	1.5	50		5		6	12		15.7	115.3		
3月12日	晴	3	2.5	50		6		6	12		15.3	115.4		
3月13日	晴	2	1.5	50		4		5	10		15.3	115.4		
3月14日	晴	2	1.5	50		5		6	12		15.2	115.3		

表 3.1 (c) 海象・気象観測記録

計測日	天候	波 浪						風 力			船速 (Knots)	プロ ペラ 回転数		
		うねり			風浪			階級	絶対風速 (m/s)	対船方向				
		階級	波高	波長	対船方向	階級	対船方向							
3月16日	晴	2	1.5	20		2		3	4		15.0	92.3		
3月17日	曇	2	1.5	50		4		4	7		15.5	114.3		
3月18日	晴	1	1	50		4		4	7		14.6	113.2		
3月19日	快晴	2	2.5	100		3		3	4		14.6	113.2		
3月20日	晴	1	1	50		2		2	3		14.9	113.2		
3月21日	快晴	1	1	20		2		3	4		15.6	113.4		
3月22日	晴	1	1	30		3		4	7		13.8	113.5		

表 3.2 計測時の本船状態

		往 船	復 航
吃 水	船 首	8.60 m	14.51 m
	船 尾	10.40 m	15.43 m
バ ラ ス ト 重 量	No.1 W.B.T.	18,550 (KT)	0
	No.3 W.B.T.	22,294 (KT)	0
	No.6 W.B.T.	11,108 (KT)	0
載 貨 重 量	No.1 H O L D	-	32,210 (LT)
	No.2 H O L D	-	38,209 (LT)
	No.3 H O L D	-	30,210 (LT)

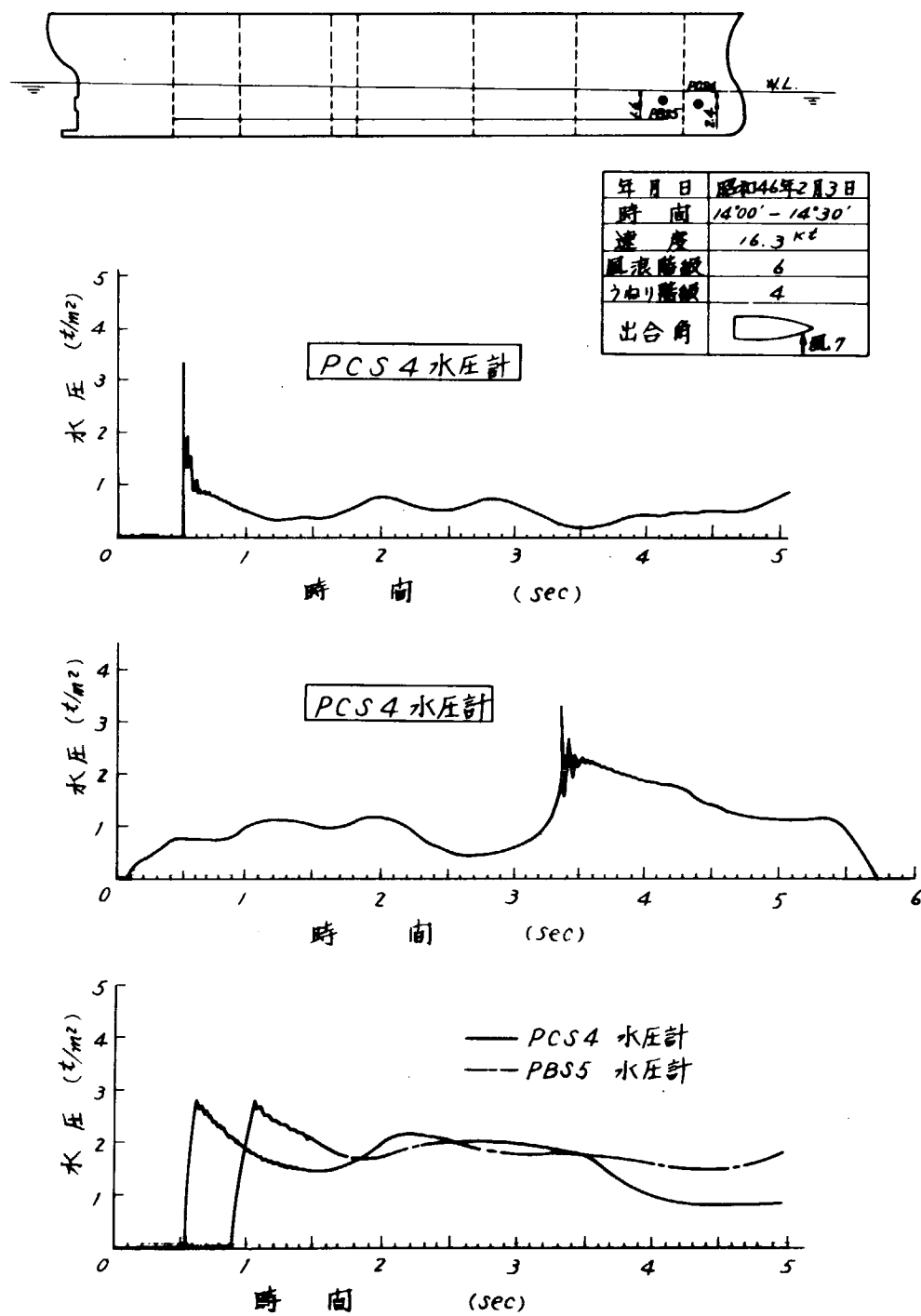


図3.1 船首部衝撃水圧波形 - 往航時脚荷状態

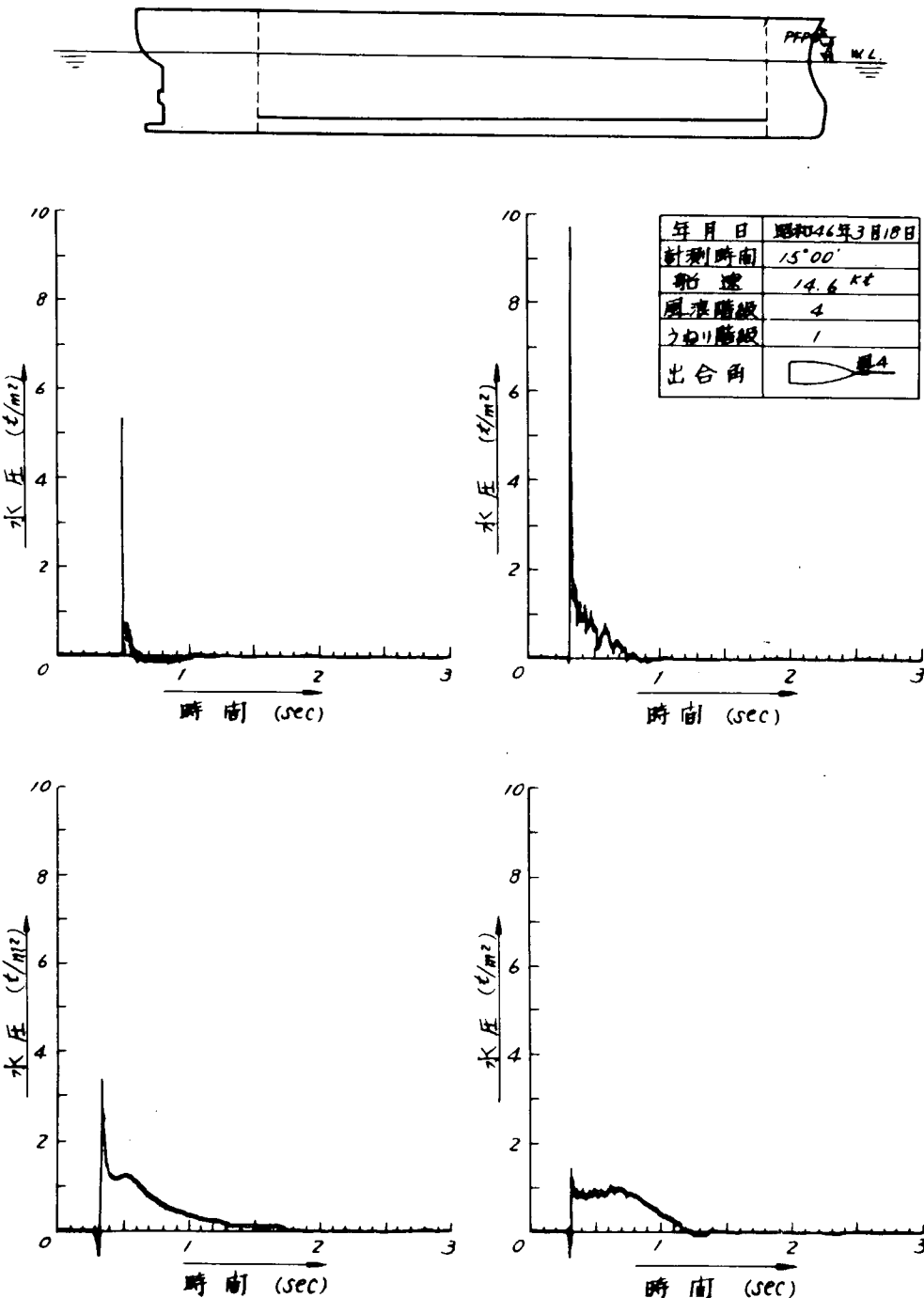


図3.2 船首先端部衝撃水圧波形 - 復航時満載状態
(P F P 水圧計)

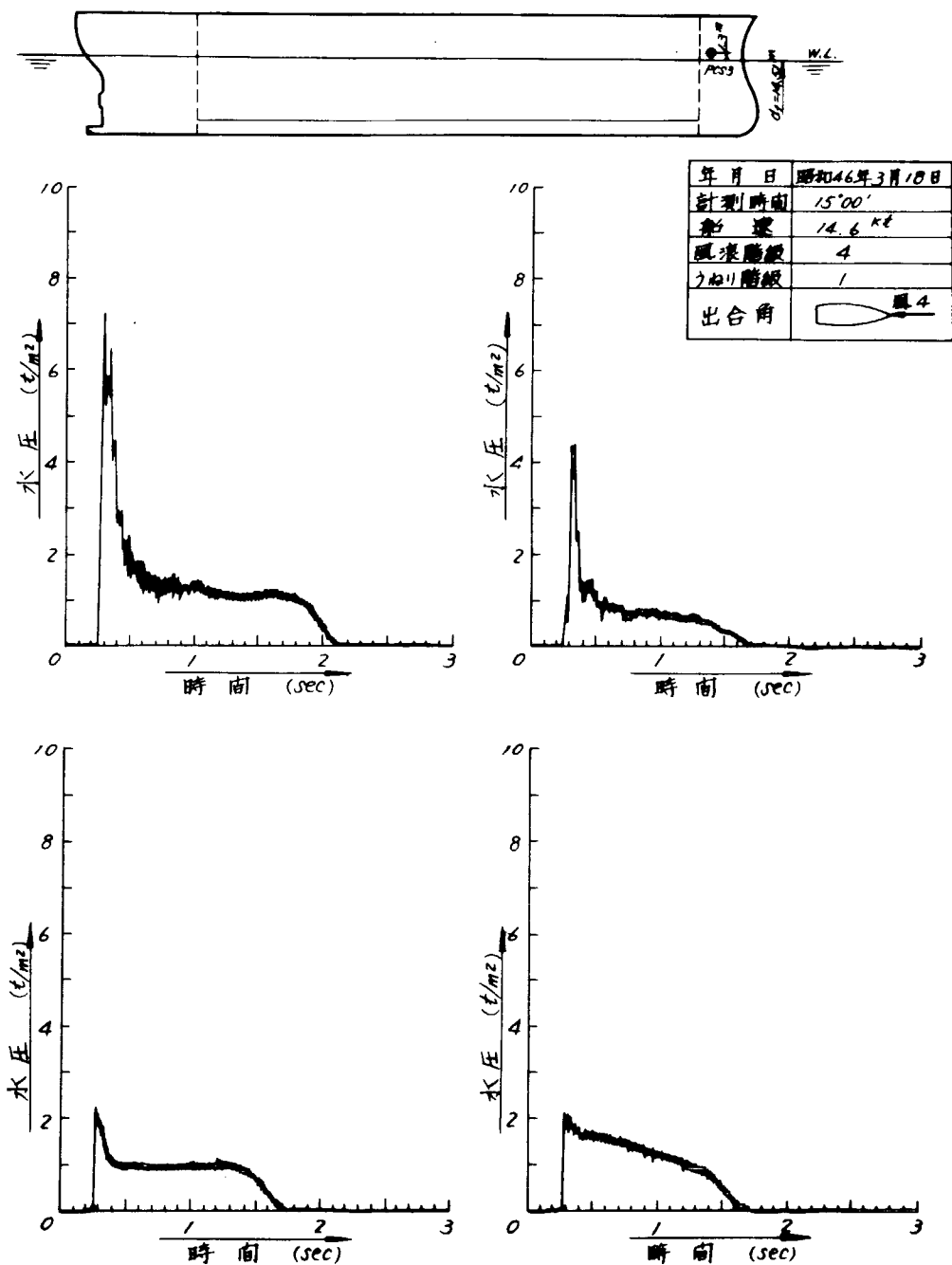


図3.3 船首部衝撃水圧波形 - 復航時満載状態
(P C S 3 水圧計)

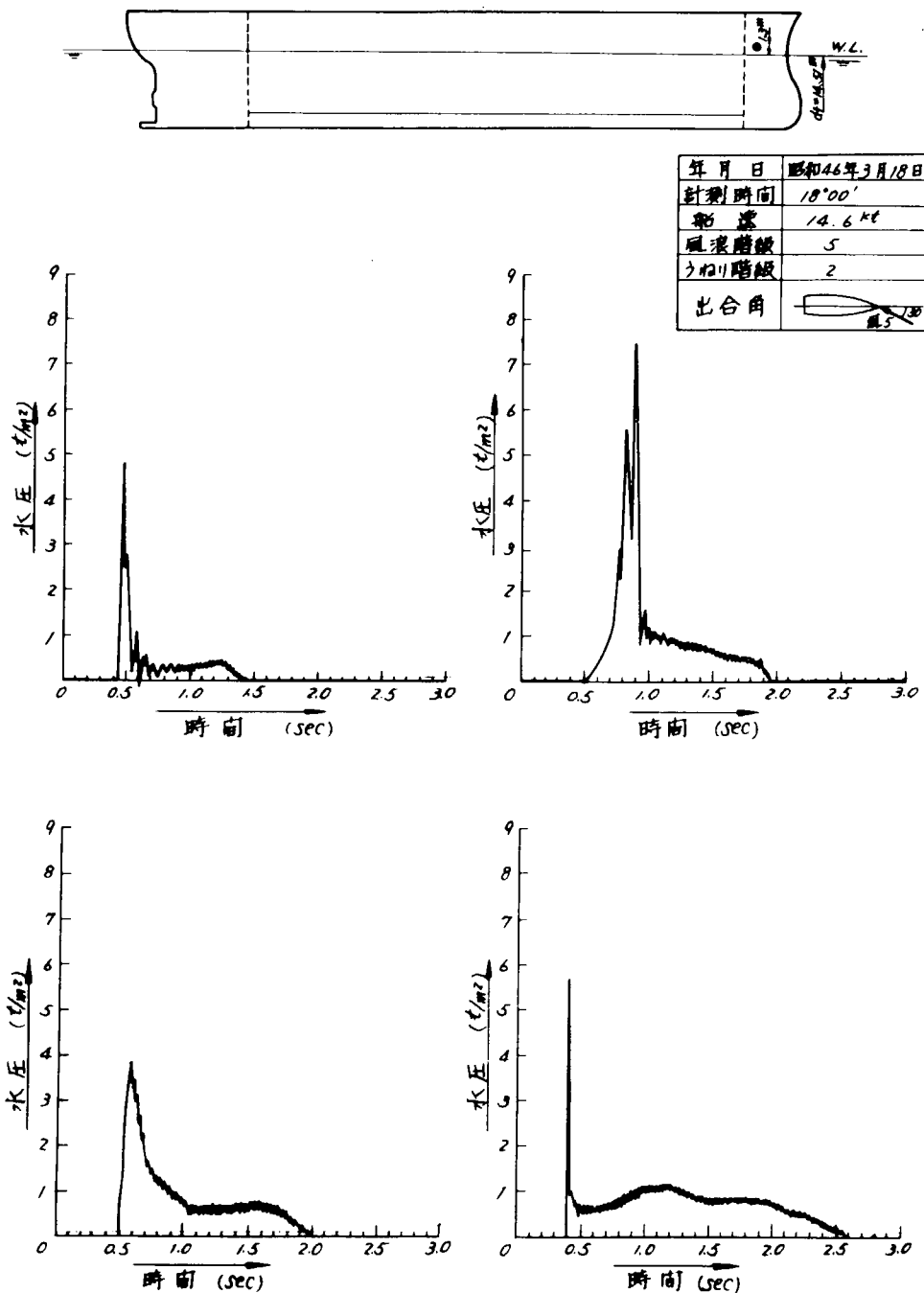


図3.4 船首部衝撃水圧波形－復航時満載状態
(PUS3 水圧計)

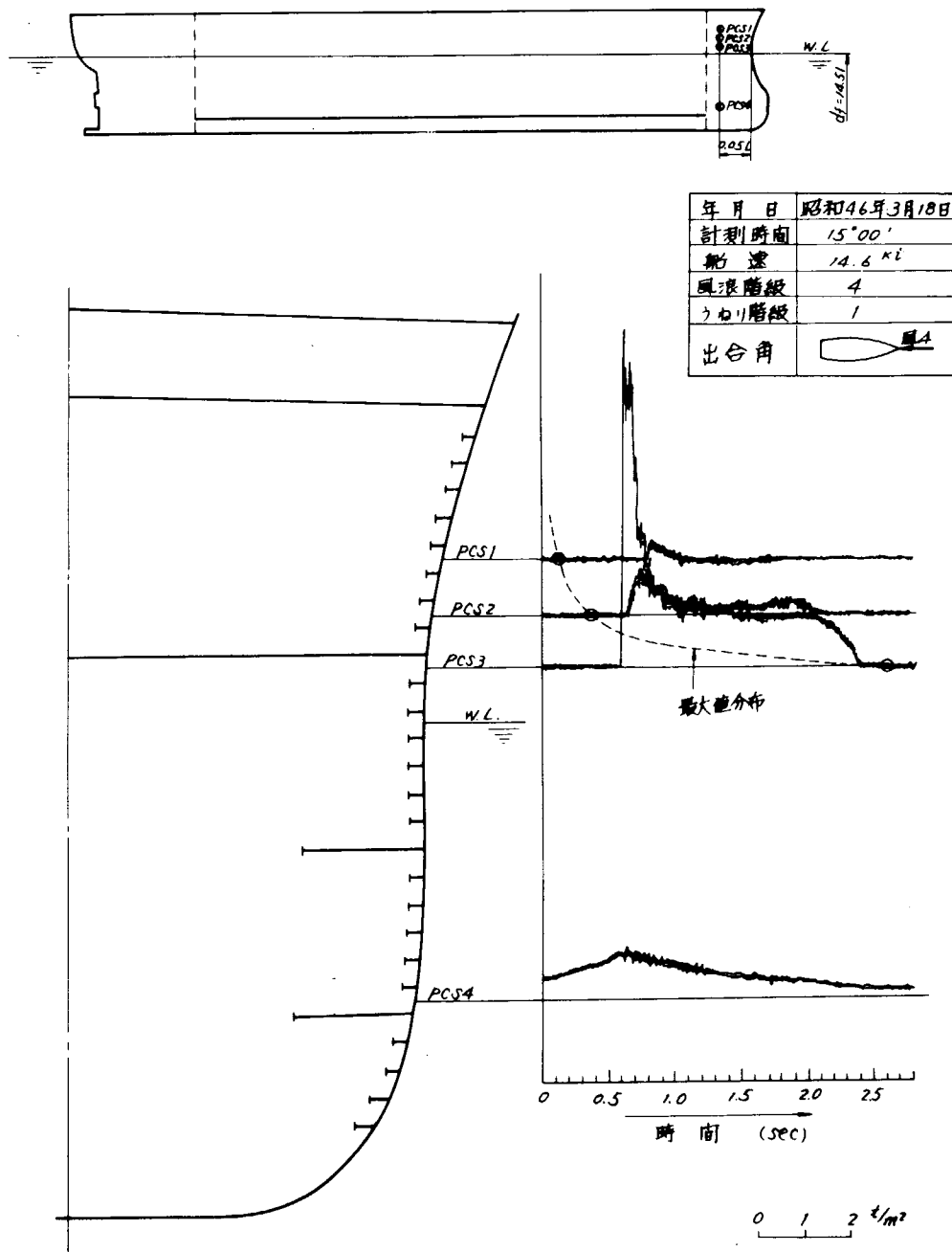


図3.5 船首部衝撃圧力同時分布－復航時満載状態

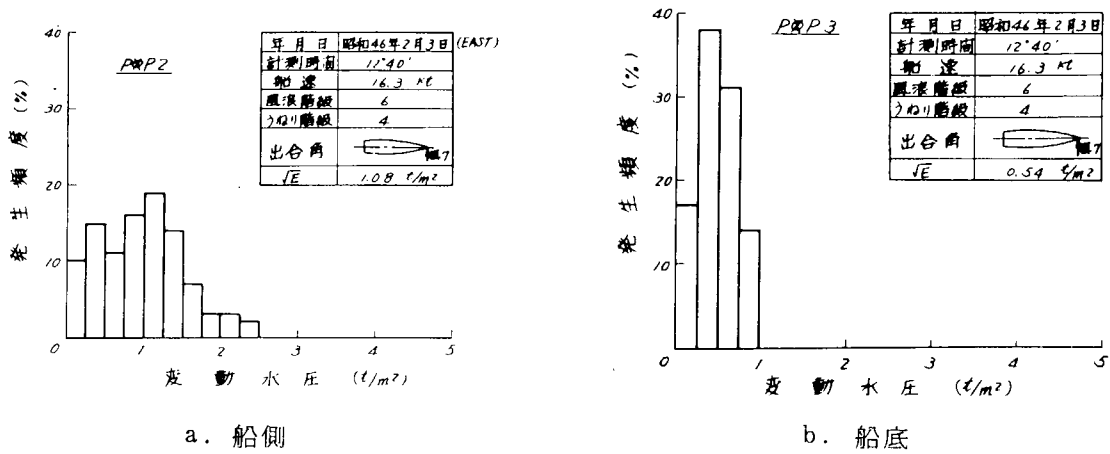


図3.6 船体中央部船側ノ船底変動水圧(複振幅)の短期分布－往航時脚荷状態

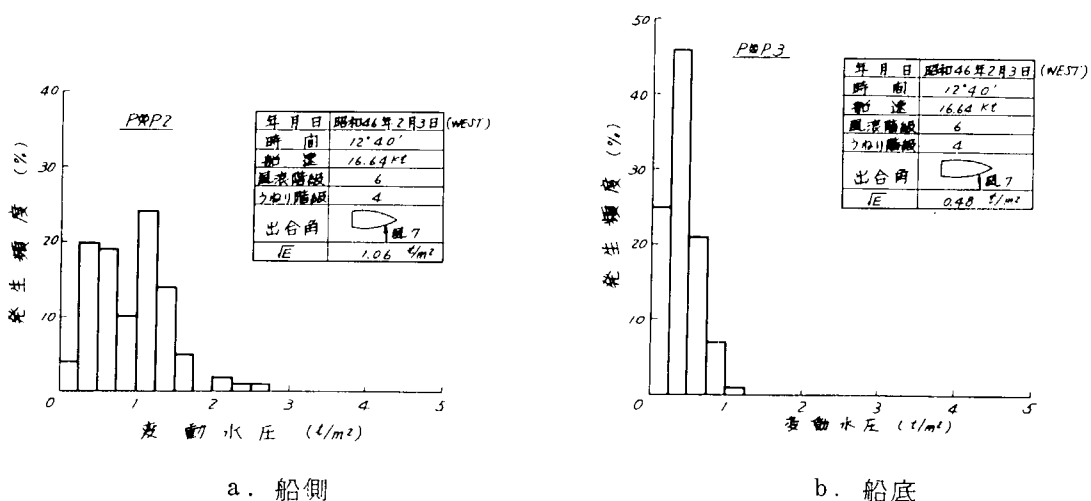


図3.7 船体中央部船側、船底変動水圧(複振幅)の短期分布－往航時脚荷状態

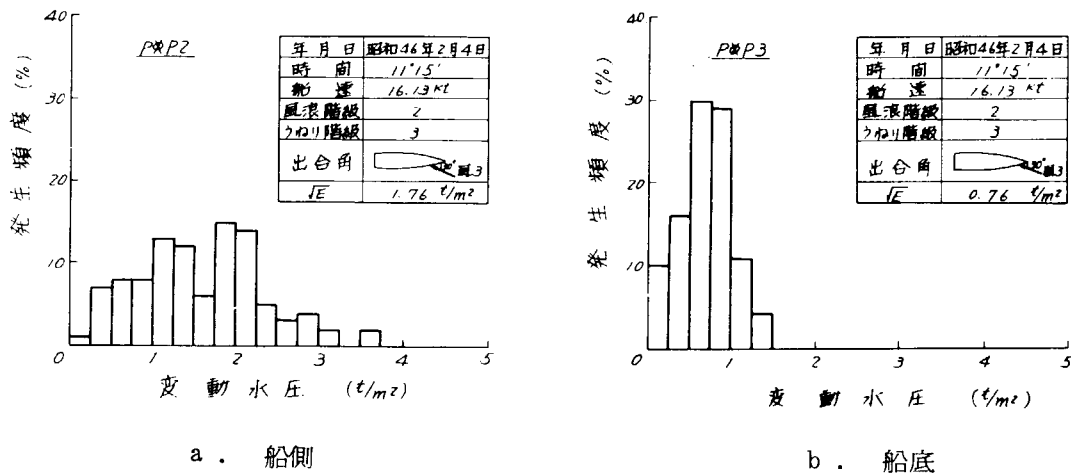


図3.8 船体中央部船側、船底変動水圧（複振幅）の短期分布－往航時脚荷状態

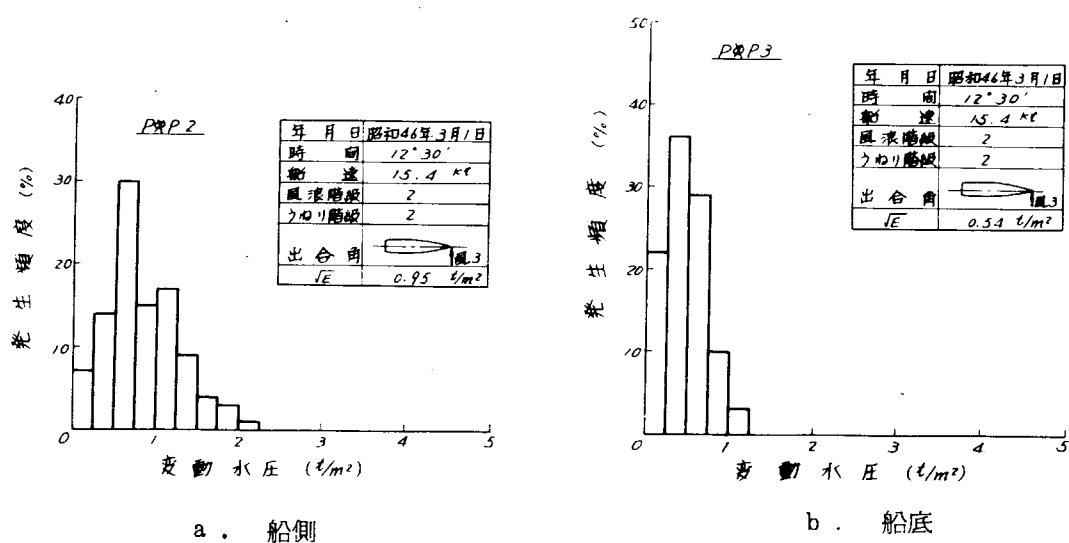


図3.9 船体中央部船側、船底変動水圧（複振幅）の短期分布－復航時満載状態

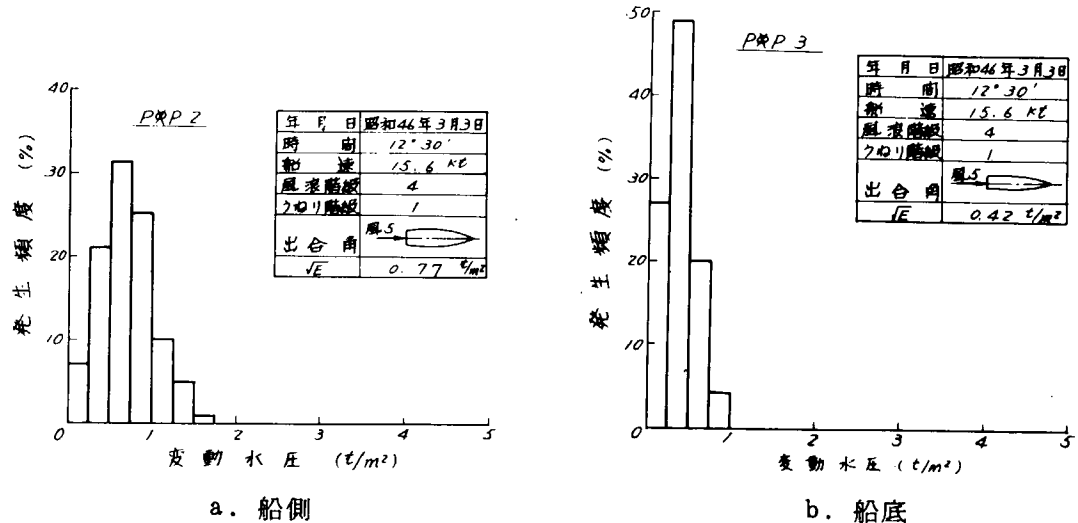


図3.10 船体中央部船側、船底変動水圧（複振幅）の短期分布－復航時満載状態

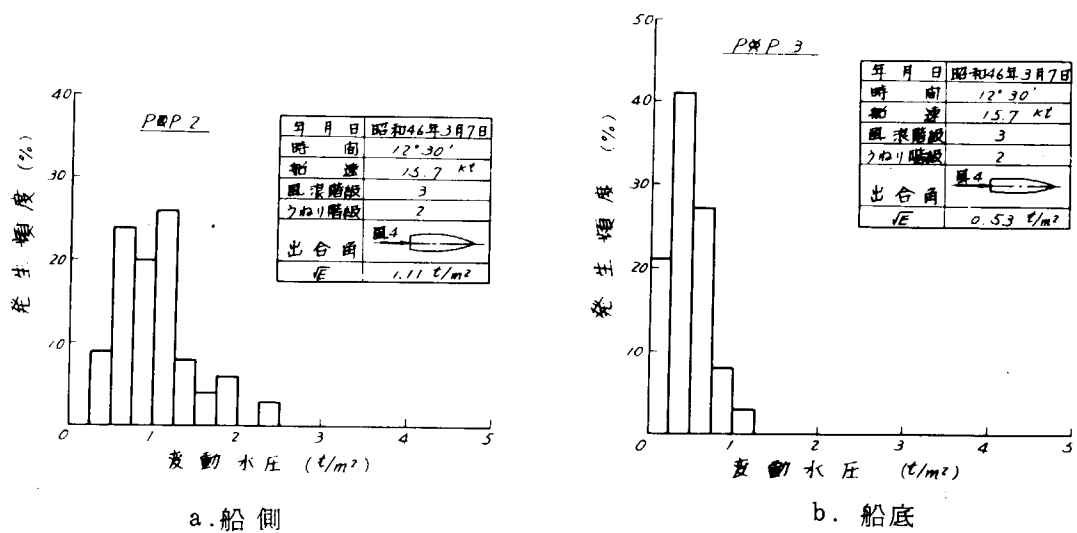


図3.11 船体中央部船側、船底変動水圧（複振幅）の短期分布－復航時満載状態

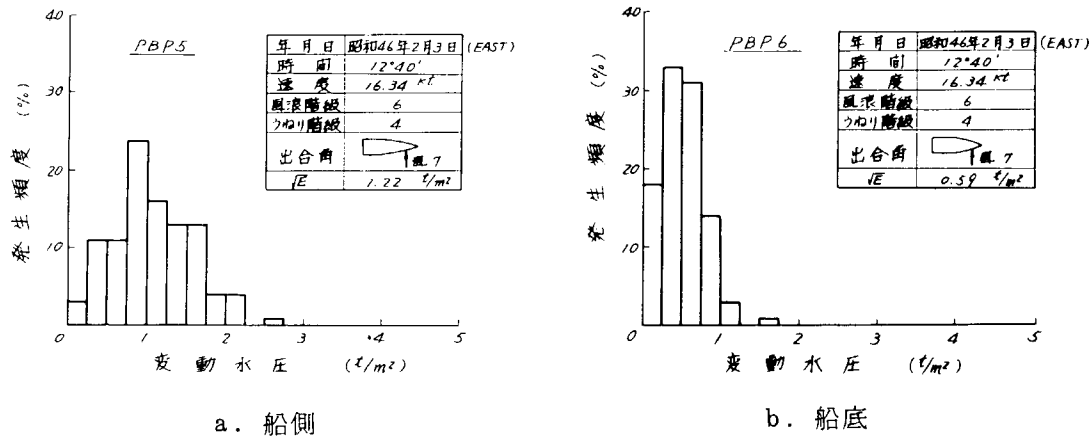


図3.12 FPから0.1Lの位置の船側、船底変動水圧（複振幅）の短期分布－往航時脚荷状態

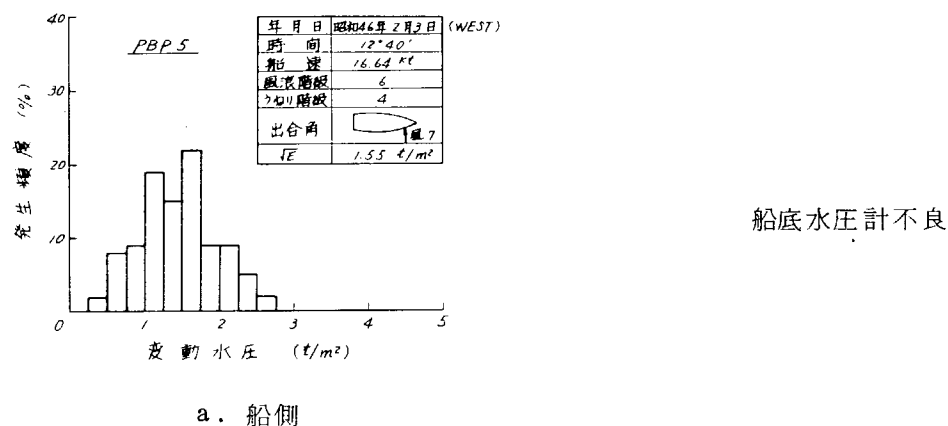


図3.13 FPから0.1Lの位置の船側、船底変動水圧（複振幅）の短期分布
－往航時脚荷状態

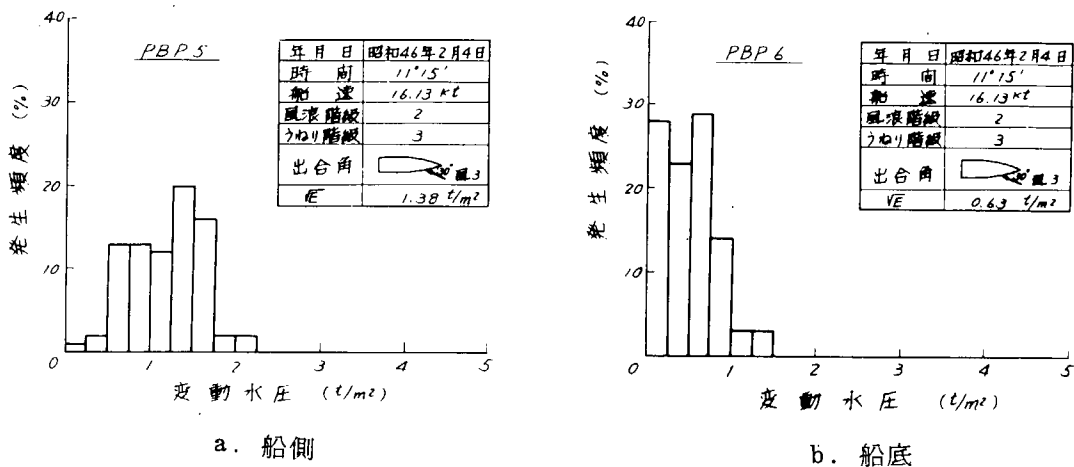
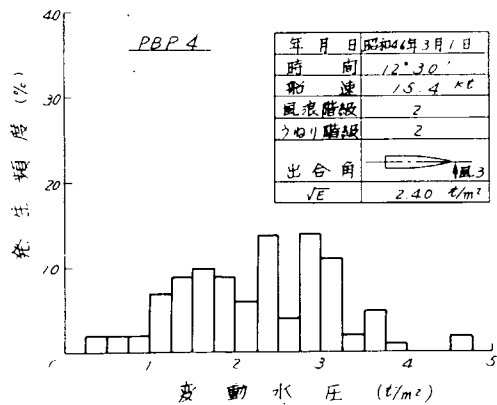
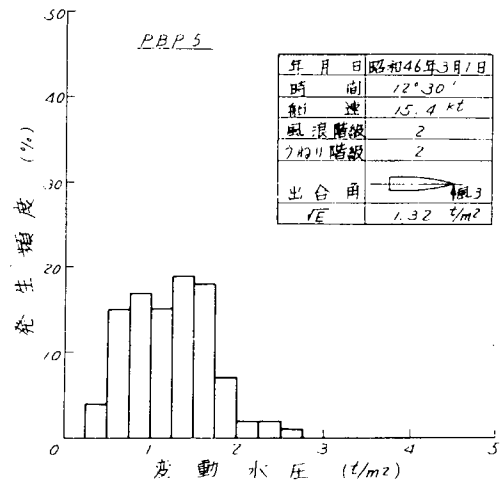


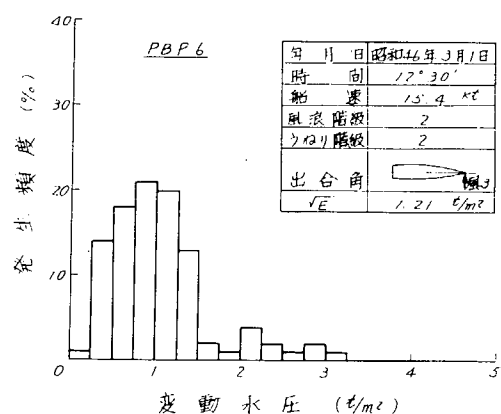
図3.14 FPから0.1Lの位置の船側、船底変動水圧（複振幅）の短期分布－往航時脚荷状態



a. 船側



b. 船側



c. 船底

図3.15 FPから0.1Lの位置の船側、船底変動水圧（複振幅）の短期分布－復航時満載状態

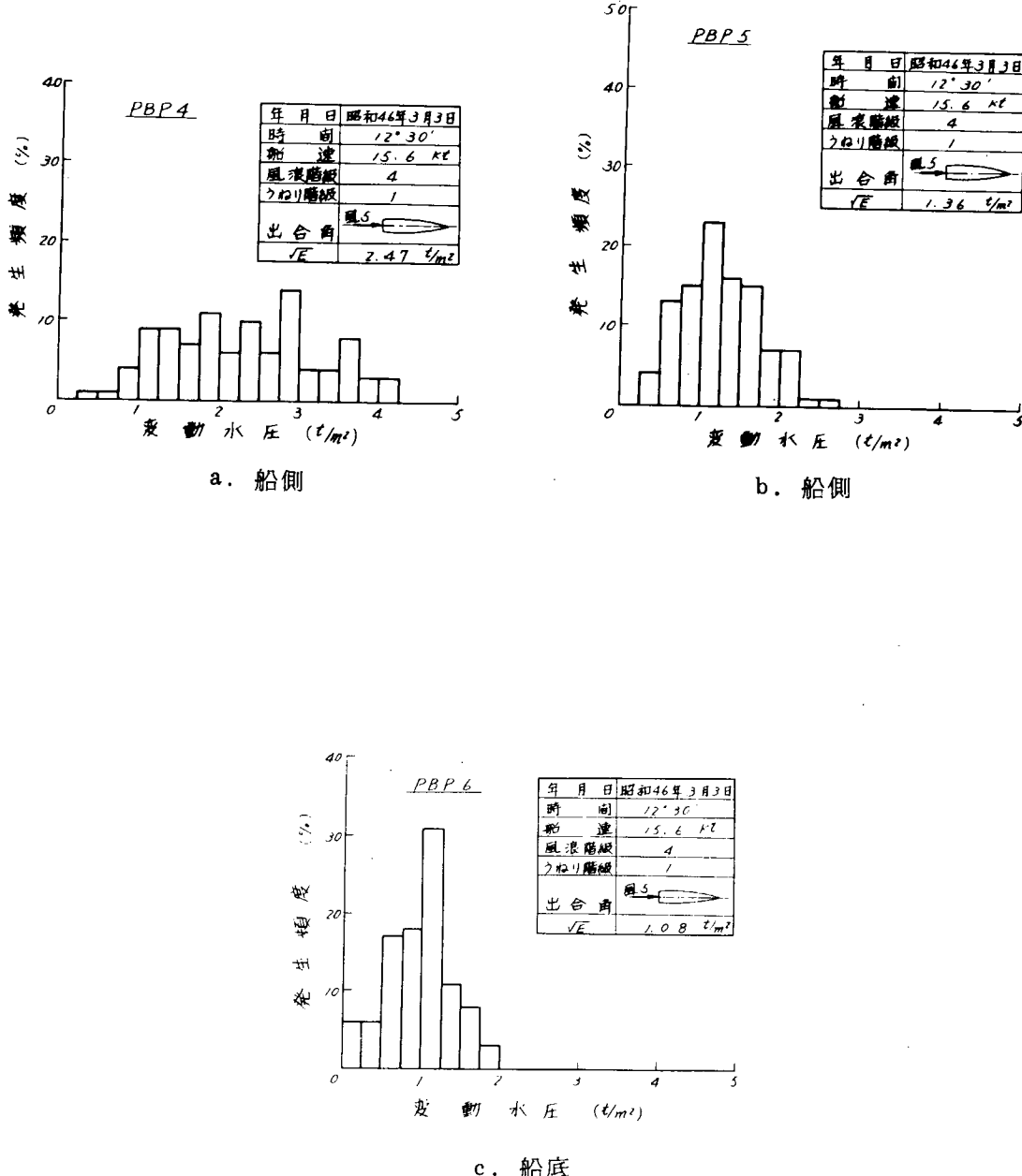
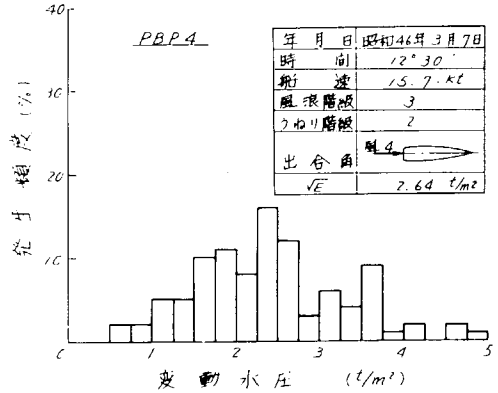
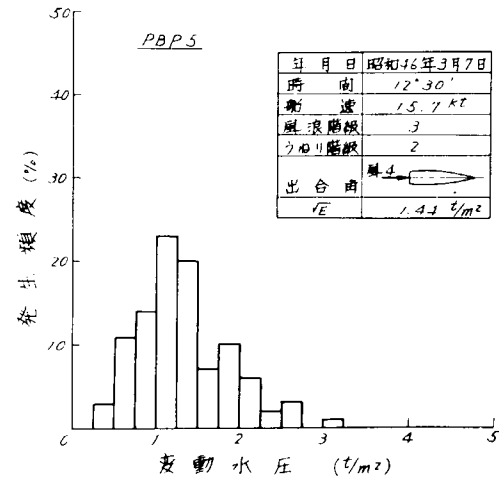


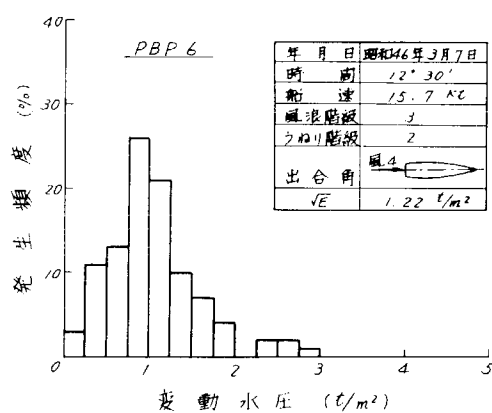
図3.16 FPから0.1Lの位置の船側、船底変動水圧（複振幅）の短期分布－復航時満載状態



a. 船側



b. 船側



c. 船底

図3.17 FPから0.1Lの位置の船側、船底変動水圧（複振幅）の短期分布--復航時満載状態

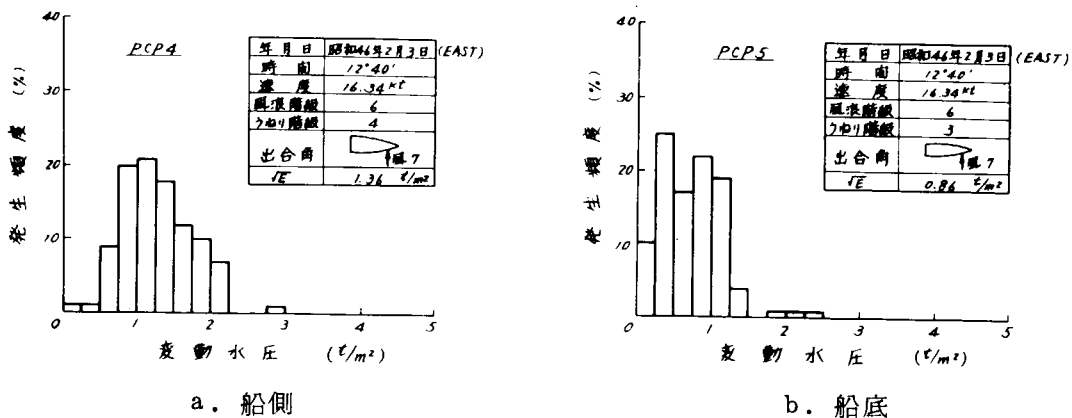


図3.18 FPから0.05Lの位置の船側、船底変動水圧（複振幅）の短期分布－往航時脚荷状態

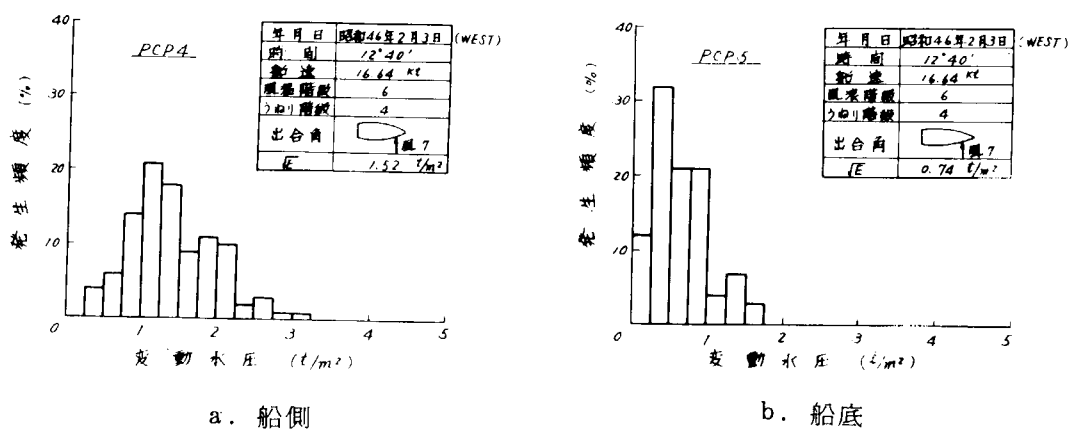


図3.19 FPから0.05Lの位置の船側、船底変動水圧（複振幅）の短期分布－往航時脚荷状態

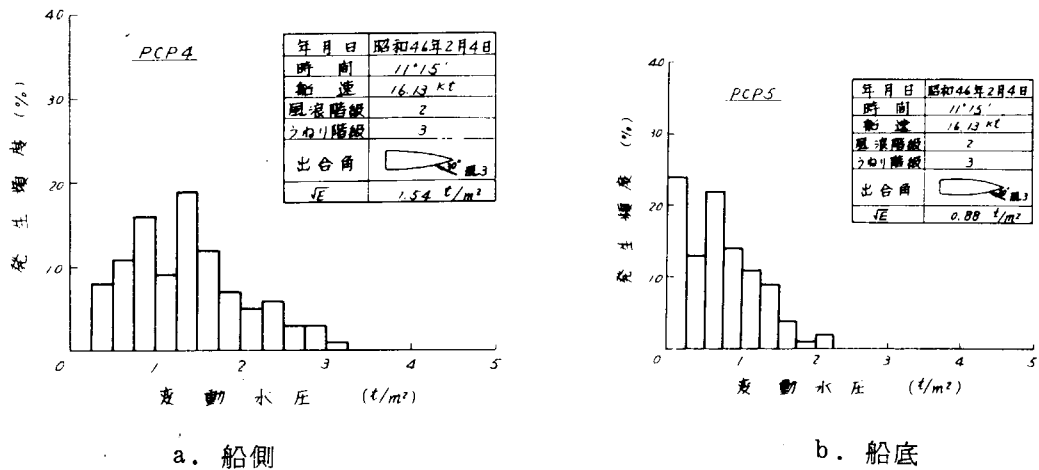


図3.20 FPから0.05Lの位置の船側、船底変動水圧（複振幅）の短期分布－往航時脚荷状態

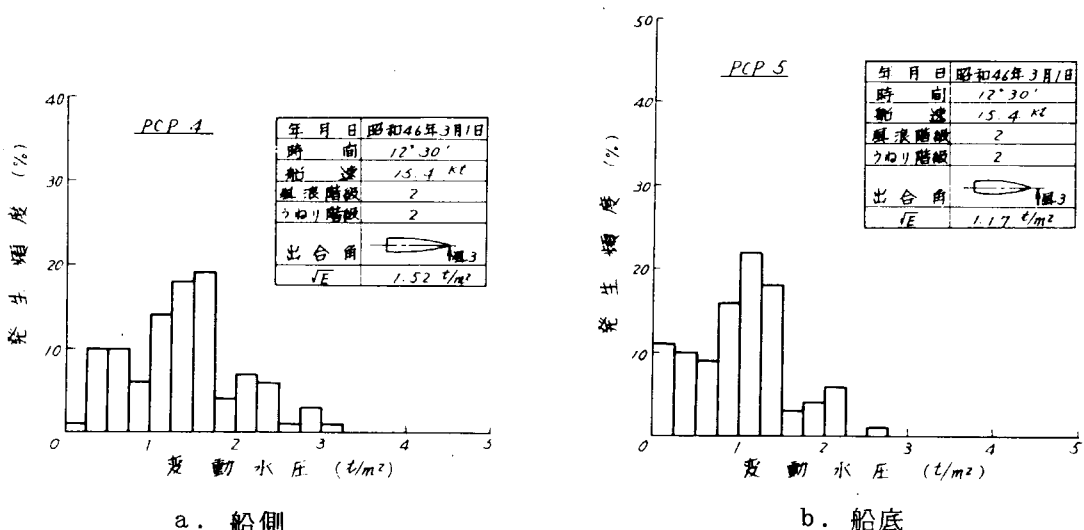
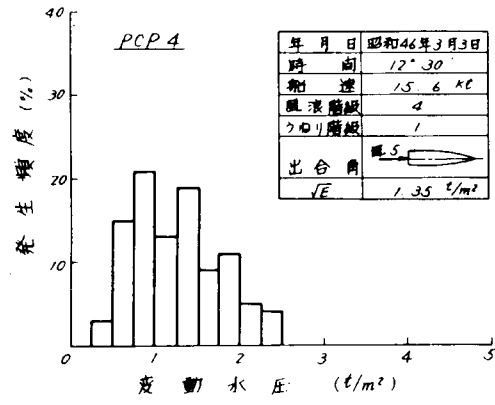
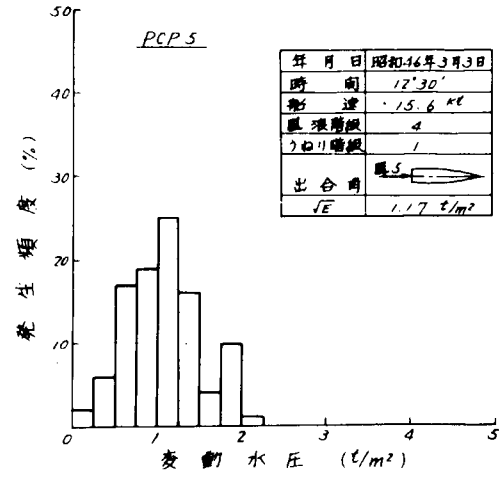


図3.21 FPから0.05Lの位置の船側、船底変動水圧（複振幅）の短期分布－復航時満載状態

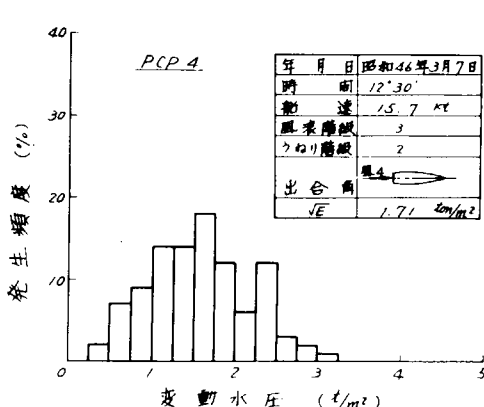


a. 船側

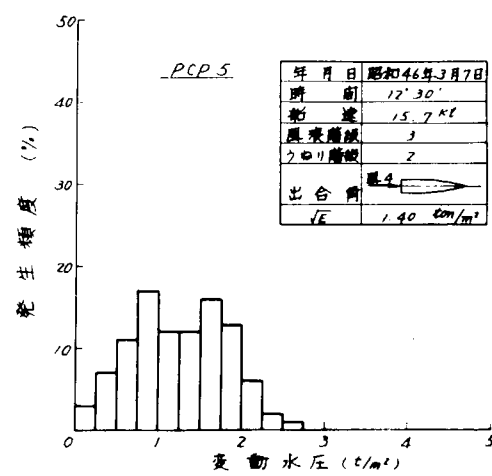


b. 船底

図3.22 FPから0.05Lの位置の船側、船底変動水圧(複振幅)
の短期分布－復航時満載状態



a. 船側



b. 船底

図3.23 FPから0.05Lの位置の船側、船底変動水圧(複振幅)の短期分布－復航時満載状態

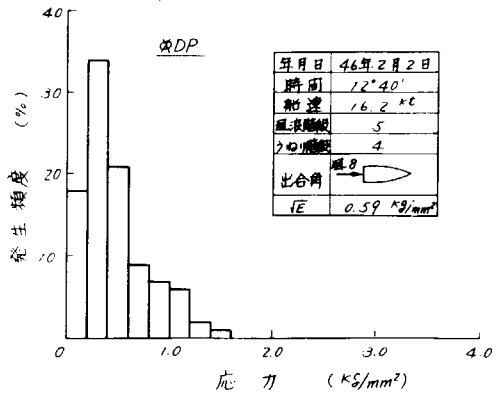


図3.24 船体中央甲板応力(複振幅)
の短期分布(往航時脚荷状態)

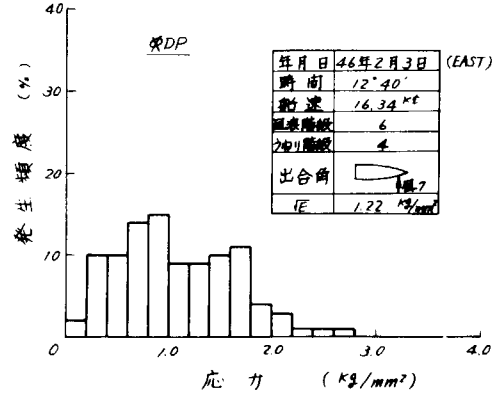


図3.25 船体中央甲板応力(複振幅)
の短期分布(往航時脚荷状態)

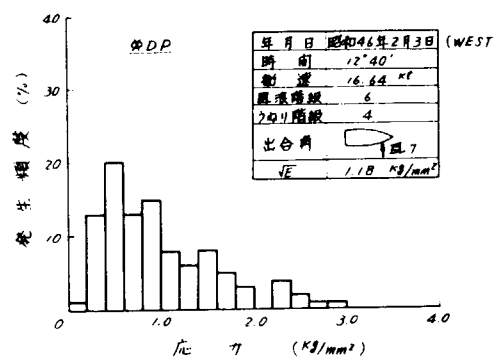


図3.26 船体中央甲板応力(複振幅)
の短期分布-往航時脚荷状態

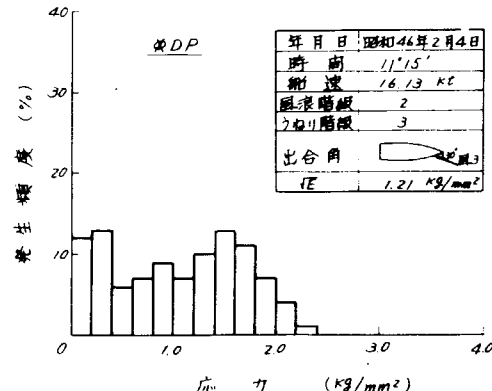


図3.27 船体中央甲板応力(複振幅)
の短期分布-往航時脚荷状態

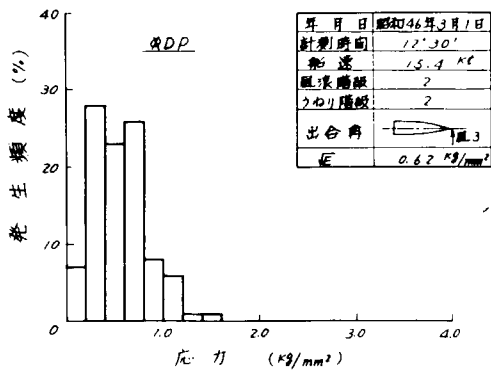


図3.28 船体中央甲板応力(複振幅)
の短期分布－復航時満載状態

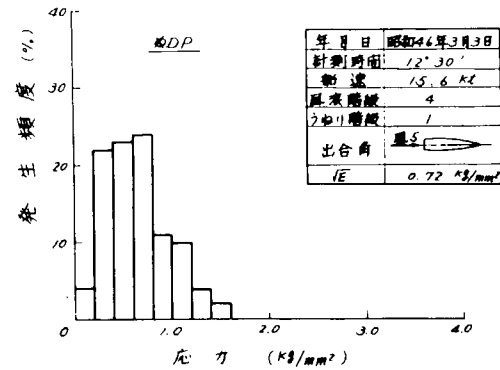


図3.29 船体中央甲板応力(複振幅)
の短期分布－復航時満載状態

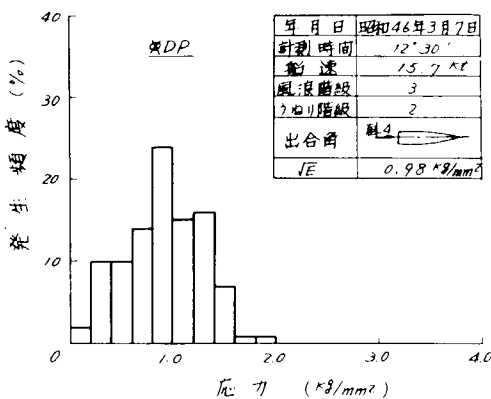


図3.30 船体中央甲板応力(複振幅)
の短期分布－復航時満載状態



写真3.1 ステレオカメラによる海面撮影例

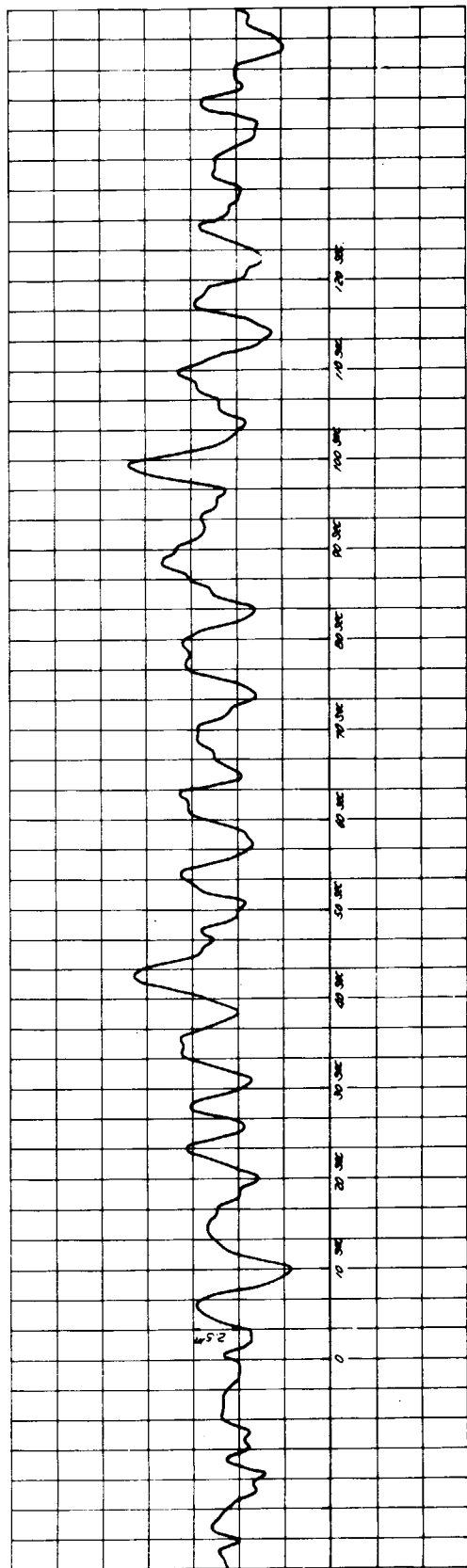


図3.31 投込式波高計による波浪計測結果（計測日3月19日）

4. 理 論 計 算

4.1 鉱石運搬船の横強度計算

鉱石運搬船三隻に対し各荷重状態、支持条件について電算機を用いてその横強度計算を行なつた。

以下にその概要を述べる。

(1) 供 試 船

計算を行なつた三隻の供試船の横断面の概略は図4.1のとおりで、いづれも横桁支材は1条であり、縦隔壁はA丸およびB丸は垂直型、C丸は傾斜型である。

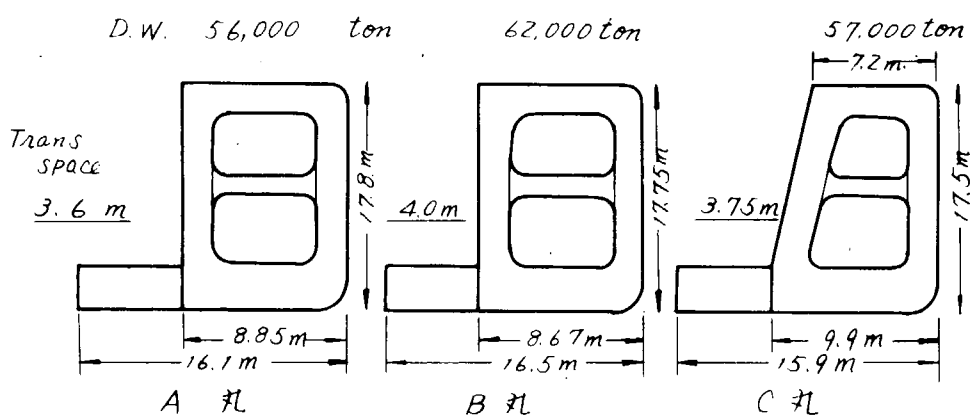


図 4. 1

(2) 計算条件

計算はいづれも種々の支持条件の下で單一部材にのみ種々の荷重を作用せしめ、最終的にはこれらを組合せて任意の支持条件、荷重状態に対する計算結果が得られるようにした。

最も一般的な荷重状態と支持条件の組合せを図4.2および図4.3に示す。

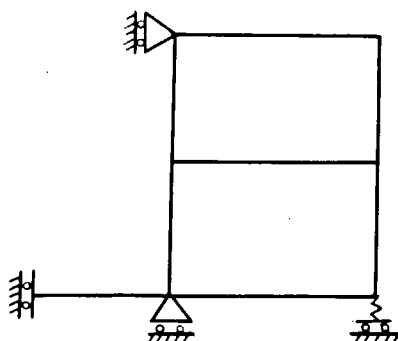


図 4. 2 支 持 条 件

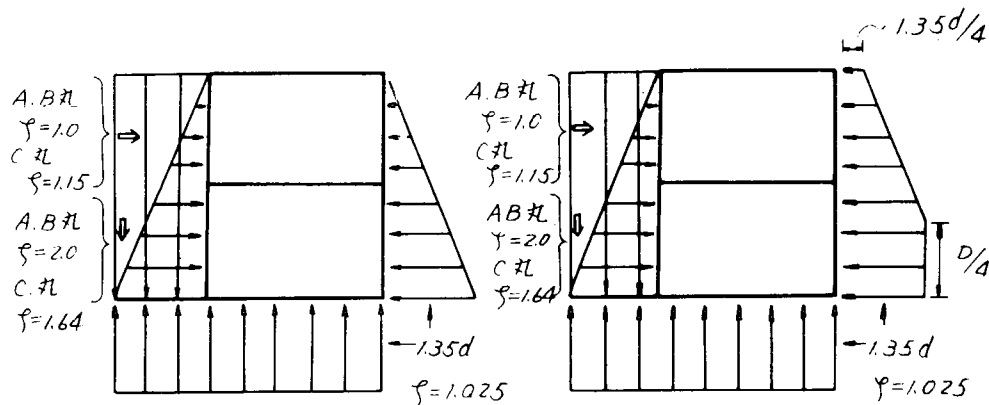


図 4.3 荷重状態

外板と縦隔壁の相対変位の影響を考慮するため単位変位量の場合について平面計算を行ない、実際の変位量は別の計算で求め両者から所要の変位量による応力を求めるようにした。

- (3) 図4.2の支持条件で図4.3の荷重状態に対する計算結果を表4.1に示す。表中の計算点A～Lは図4.4に示す各部材のR止りの位置である。またそれぞれの記号は次のとおりである。

$$\sigma = \sigma_B + \sigma_A$$

σ_B = Bending stress

σ_A = Axial stress

τ = Shearing stress (Kg/mm^2)

なお、上記計算において各船の相対変位量はそれぞれ次のよう仮定した。

A 丸 7 mm

B 丸 8 mm

C 丸 10 mm

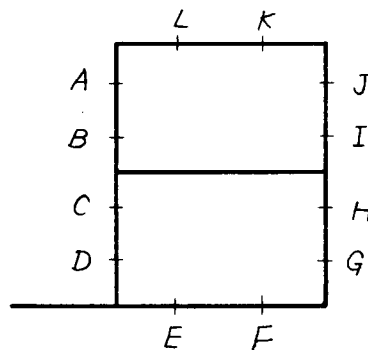


図 4.4

表 4.1

	(I) (Load; 1.35d)				(II) (Load; 1.35d/4)				(III)-(I) (stress Amp)									
	A. Ship		B. Ship		C. Ship		A. Ship		B. Ship		C. Ship		A. Ship		B. Ship		C. Ship	
	σ	τ	σ	τ	σ	τ	σ	τ	σ	τ	σ	τ	σ	τ	σ	τ	σ	τ
A	11.09	-0.67	11.59	-0.34	8.6	-1.2	15.02	-2.32	16.61	-2.11	13.3	-3.3	3.93	-1.65	5.02	-1.77	4.7	-2.1
B	-8.14	-5.56	-8.58	-7.25	-5.3	-7.0	-12.65	-7.21	-14.32	-9.04	-10.4	-9.0	-4.51	-1.65	-5.74	-1.79	-5.1	-2.0
C	-1.36	1.02	0.13	2.91	-	2.7	1.8	-6.57	3.58	-5.89	5.55	-	8.3	-5.21	2.56	-6.02	2.64	-7.2
D	-8.78	-5.15	-7.21	-7.09	-2.8	-2.7	-4.47	-2.59	-2.57	-4.45	0.5	2.6	4.31	2.56	4.64	2.64	3.3	5.3
E	-4.30	2.41	-6.25	3.07	1.9	5.7	-5.97	0.97	-8.64	2.01	0.5	2.9	-1.67	-1.44	-2.39	-1.06	-1.4	-2.8
F	-3.08	-0.72	-4.04	-0.95	2.5	0.5	-6.86	-2.17	-8.64	-2.00	0.1	-3.0	-3.78	-1.45	-4.60	-1.05	-2.4	-3.5
G	6.80	0.41	9.03	-0.55	5.8	1.6	3.79	3.29	6.78	3.77	4.2	4.1	-3.01	2.88	-2.25	3.22	-1.6	2.5
H	-2.07	-5.58	-6.08	-8.22	0.0	-	6.8	0.58	-5.26	-2.94	-9.68	4.1	-6.8	2.45	0.32	3.14	-1.46	4.1
I	2.66	1.16	-0.54	2.46	4.3	1.2	6.01	2.96	2.91	4.57	9.0	4.9	3.35	1.80	3.45	2.11	4.7	3.7
J	-5.47	-3.30	-4.57	-3.26	-5.1	-4.6	-4.42	-5.93	-3.86	-6.39	-	2.8	-7.4	1.05	-2.63	0.71	-3.13	2.3
K	-15.21	2.69	-15.01	2.90	-8.8	7.9	-24.50	4.38	-25.84	5.52	-	16.4	13.7	-9.29	1.69	-10.83	2.62	-7.6
L	3.38	2.69	-0.01	2.90	-1.7	8.6	6.08	4.38	2.95	5.52	-	4.0	11.0	2.70	1.69	2.96	2.62	-2.3
																		2.4

(Kg/m²)

5. 考 察

前述のとおり、今回の計測では新たに採用した計器類が多いため、ダブルチェックの意味で電磁オシロ、デジタルデータレコーダ アナログデータレコーダ等に極力データ集録をはかつた。計測後まだ日も浅く、電磁オシロのデータについて解析を開始したばかりの段階であるので、ここでは概略的な考察にとどめる。

本計測では船首部に青波をかぶるような荒天には遭遇せず、衝撃圧力の値としては復航時に F P 船側外板の水圧計で $10 \text{ ton}/m^2$ 、 F P T の右舷船側外板の吃水線より上の水圧計で $8 \text{ ton}/m^2$ 程度とそれほど大きくないが、典型的な衝撃波形が記録された。往航時は吃水が浅く、復航時ほど顕著ではないが、F P T および F W T の右舷船側外板の吃水線より下の水圧計で $4 \text{ ton}/m^2$ 程度の衝撃水圧が計測された。

船体内常時働く変動水圧については船底に対しては風浪の影響は小さく、うねりが卓越している場合には船底の変動水圧は水線付近の船側の変動水圧のほど 50% となつてゐる。

船体運動計測結果および投棄式波高計による波浪の計測結果もほど良好な結果が得られた。

このように大型鉱石運搬船の航行中における船首部波浪荷重および鉱石圧、荷役時の鉱石圧を計測し、その時の外界条件として波浪、気象、本船条件を求めることができた。

本計測により、まず船首部における衝撃水圧の波形およびその発生領域の数例を得たが、次年度以降これらの結果を詳細に解析し、さらに引き続いて実施される計測により、衝撃水圧の異常値も含めてそれらが一層明確になれば、船首部構造の合理的設計のための基礎資料として貴重なものとなると思われる。

また変動水圧および鉱石圧についても、次年度以降の詳細な解析および引き続いて実施される計測により、理論と実船との対応が明確なものとなれば、これらの結果は合理的船舶建造の資料になるとともに船体構造計算法の精密化に寄与するところ大と思われる。